

بِسْمِ اللّٰهِ الرَّحْمٰنِ الرَّحِيْمِ

مُحَمَّد



دانشکده : مهندسی مکانیک

گروه : طراحی کاربردی

تحلیل عددی و ریاضی استوانه جدار نازک تحت بار متحرک

دانشجو : فریبرز فرزان

استاد راهنما :

دکتر ایپکچی

پایان نامه ارشد جهت اخذ درجه کارشناسی ارشد

آبان ۱۳۸۷

## دانشگاه صنعتی شاهرود

دانشکده : مهندسی مکانیک

گروه : طراحی کاربردی

پایان نامه کارشناسی ارشد آقای / خانم .....

تحت عنوان:

تحلیل عددی و ریاضی استوانه جدار نازک تحت بار متحرک

در تاریخ ..... توسط کمیته تخصصی زیر جهت اخذ مدرک کارشناسی  
ارشد مورد ارزیابی و با درجه ..... مورد پذیرش قرار گرفت.

امضاء	اساتید مشاور	امضاء	اساتید راهنمای
	نام و نام خانوادگی :		نام و نام خانوادگی :
	نام و نام خانوادگی :		نام و نام خانوادگی :

امضاء	نماينده تحصيلات تمكيلي	امضاء	اساتيد داور
	نام و نام خانوادگي :		نام و نام خانوادگي :
			نام و نام خانوادگي :
			نام و نام خانوادگي :
			نام و نام خانوادگي :

باتشکر از تمامی اساتید دوران تحصیلم به ویژه دکتر ایپکچی که از آنان بسیار آموخته ام و  
شاگردی شان تا ابد مایه‌ی مباحثات من خواهدبود.

دانشجو تأیید می نماید که مطالب مندرج در این پایان نامه نتیجه تحقیقات خودش می باشد و در صورت استفاده از نتایج دیگران مرجع آن را ذکر نموده است.

کلیه حقوق مادی مترتب از نتایج مطالعات ، آزمایشات و نوآوری ناشی از تحقیق موضوع این پایان نامه متعلق به دانشگاه صنعتی شاهرود می باشد .

آبان ۱۳۸۷

## چکیده

در این تحقیق، پاسخ دینامیکی یک استوانه جدارنازک به بار متحرک باروش ریاضی و عددی به دست آمده است. روش ریاضی شامل سری فوریه و حل موج است. درروش عددی از نرم افزار آباکوس برای تحلیل استفاده شده است. علاوه بر آن یک کد اجزای محدود برای تحلیل مساله فراهم شده است. تعیین جایگایی بر حسب مکان و زمان، بررسی اثرسرعت بار متحرک و تغییرات پاسخها با ضخامت مخزن از جمله پارامترهایی است که در این روش ها مطالعه شده است که مقایسه نتایج هم خوانی خوبی را بین روش های مختلف نشان می دهد.

۱	فصل اول : کلیات و مرور مطالب
۲	۱-۱- کلیات
۴	الف) تئوری غشایی
۴	ب) تئوری خمشی
۴	ج) تئوری تغییر شکل برشی
۵	۲-۱ مرور تحقیقات انجام شده در زمینه بار متحرک
۹	فصل دوم: روش های ریاضی تحلیل پوسته ها
۱۰	۲-۲ روش حل موج (روش هرمن میرسکی )
۱۲	تئوری مسئله
۱۳	اصل هامیلتون
۲۰	استخراج دستگاه معادلات
۲۲	حل معادلات
۲۸	پیوستگی
۳۱	بارگذاری
۳۵	بررسی دامنه ارتعاشات
۳۶	بررسی نتایج
۳۸	جمع بندی
۳۸	ضریب تصحیح برشی
۴۳	۲-۲ روش تحلیل با استفاده از سری فوریه
۴۳	تئوری و حل معادلات
۴۵	حل در منطقه تحت فشار(منطقه I)
۴۶	شرایط اولیه در منطقه I

## حل در منطقه II

۴۸

حالت تشدید

۵۰

مقایسه نسبت تغییر شکل دینامیکی به استاتیکی

۵۲

۳-۲ تحلیل مخزن استوانه ای جدار نازک تحت بار متحرک با استفاده از روش

انتگرال مختلط کارسون لاپلاس

۵۲

مقدمه

۵۲

تئوری مسئله

۵۶

انتخاب تعداد جملات سری

۵۸

حل نمونه

۵۹

فصل سوم- تحلیل عددی پوسته نازک تحت بار متحرک

۶۰

۱-۳ - تحلیل عددی پوسته های نازک تحت بار متحرک با روش گالرکین

۶۰

روش حل

۶۵

توضیحاتی در مورد برنامه ها

۷۱

۲-۳ - روش تحلیل پوسته های نازک تحت بار متحرک به کمک نرم افزار

۷۱

معرفی کلی نرم افزار

۷۲

صورت مسئله

۷۲

انتخاب المان

۷۳

مش بندی

۷۴

تعريف بار

۷۵

شرایط مرزی

۷۶

فصل ۴ - بررسی نتایج

۷۹

نتایج در وجوده درونی و بیرونی پوسته

۸۵	دلایل خطأ
۸۵	پیشنهادات
۸۶	ضمایم و پیوستها
۹۴	فهرست مراجع
۹۷	واژگان

# فصل اول

كليات و مرور مطالب

## ۱-۱-کلیات

بارهای متحرک بارهایی هستند که مختصات مکان اثراشان با زمان متغیر است. این بارها به دو دسته گستردۀ و متمرکز تقسیم می‌شوند. بارهای متمرکز با استفاده از تابع دلتای دیراک<sup>۱</sup> شبیه سازی می‌شوند:

$$\delta(t) = \begin{cases} \lim_{\epsilon \rightarrow 0} \frac{1}{\epsilon} & -\frac{\epsilon}{2} < t < \frac{\epsilon}{2} \\ \epsilon \longrightarrow 0 & \\ 0 & else \end{cases} \quad [28] \quad (1-1)$$

تابع دیراک برای شبیه سازی بارهای ناگهانی و ضربه‌ها و بارهای متمرکز استفاده می‌شود. می‌توان نشان

: [۲۸] داد :

$$\int_{-\infty}^{\infty} \delta(t) dt = 1 \quad (2-1)$$

بعنوان نمونه از این نوع بارگذاری می‌توان از حرکت چرخ اتومبیل روی جاده یا چرخ قطار روی ریل نام  
برد.

برای بارهای گستردۀ از تابع پله‌ای یا هویساید<sup>۲</sup> استفاده می‌شود. این تابع باررا به شکل زیر تعریف می‌کند:

$$P = P_0 [1 - H(x - vt)] \quad (3-1)$$

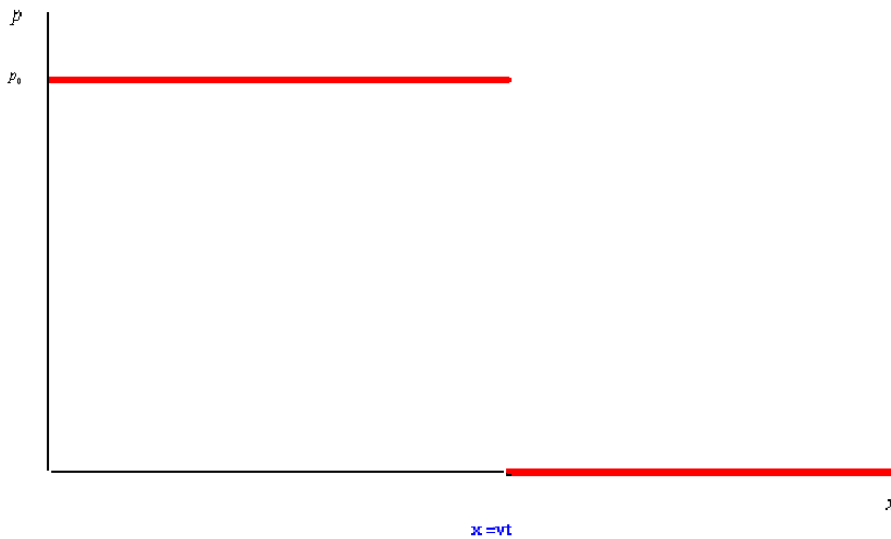
: [۲۸] آن و مفهوم

$$H(x - vt) = \begin{cases} 0 & x > vt \\ 1 & x < vt \end{cases} \quad (4-1)$$

---

<sup>۱</sup>-DIRAC  
<sup>۲</sup>-HEAVISIDE

درشکل ۱-۱ تعریف تابع پله ای مشاهده میشود:



شکل ۱-۱- تابع بارگسترده متحرک

پوسته [۱] را میتوان ورقی فرض کرد که دارای سطحی خمیده است که شرط  $\frac{R}{20} \leq t$  را دارد است که

$t$  ضخامت و  $R$  شعاع پوسته است.

فرضیات کیرشهف برای ورق و پوسته نازک الاستیک، همگن و همسانگرد مبتنی بر هندسه تغییر شکل

است و بصورت زیر بیان میشود:

۱- خیزسطح میانی در مقایسه با ضخامت ورق کوچک است بنابراین شیب سطح بسیار کوچک

ومقدار مجذور شیب در مقایسه با واحد قابل صرفنظر است.

۲- صفحه میانی بعداز خمش بدون کرنش باقی میماند.

۳- مقاطع مسطحی که عمود بر صفحه میانی هستند پس از خمش مسطح و عمود براین صفحه

می مانند. بنابراین کرنشهای برشی در صفحات عمود بر صفحه میانی قابل صرفنظر کردن است.

#### الف) تئوری غشایی [۱] :

یک غشا می تواند مسطح یا خمیده باشد و مشابه ورقی است که قابلیت تحمل فشار عرضی را دارد.

نیروهای غشایی کاملا مستقل از خمش در نظر گرفته می شود و آن را برای پوسته های مختلف از

قبیل پوسته فلزی، بتن مسلح ، فیلم صابون و ... میتوان بکار برد .

#### ب) تئوری خمشی [۱] :

نظریه خمشی غالبا از حل تئوری غشایی استفاده می کند که در نواحی دارای تاثیرات ناپیوستگی

تصحیح شده است. در واقع هدف این نظریه آنالیز تنش ها و کرنش ها ای ناشی از نیروهای لبه ای و یا

بارگذاری مرکز است که با تئوری غشایی امکان پذیر نمی باشد .

#### ج) تئوری تغییر شکل برشی [۱] :

دورقهای ضخیم تنشهای برشی مهم هستند. در واقع این فرض که مقاطع مسطح عمود بر صفحه میانی

پس از تغییر شکل همچنان عمود بر صفحه میانی می مانند در عمل صحیح نخواهد بود. بافرض اینکه

خط عمود بر صفحه میانی بصورت مورب درآمده و چرخش داشته باشد ولی همچنان راست باقی بماند

میتوان تغییر شکل را بصورت  $z = u + U$  تقریب زد که در آن  $U$  تغییر مکان صفحه میانی در استای

محوری ،  $z$  در استای ضخامت پوسته که مبدأ آن بر روی صفحه میانی قرار دارد ،  $U$  چرخش میباشد

و  $U$  نیز تغییر شکل درجهت محوری است .

## ۲-۱ مرور تحقیقات انجام شده در زمینه بار متحرک

دراین مقاله اثر جرم متحرک بریک تیربا مقاطع مختلف که بصورت Alderheim , Baz ناگهانی تغییرمی کنند<sup>۳</sup> مورد تحلیل قرارداده است . علاوه بر نتایج تئوری نتایج تجربی نیز ارائه شده است . همچنین الگویی جهت ترتیب بهینه قرار گرفتن ضخامت‌های مختلف آورده شده است .

[۶] تیر با پهنهای ثابت تحت بار متحرک با شتابهای مثبت و منفی را بررسی کرده است. Michaltsos علاوه بردار تک محوره متمرکز ، بارهای دومحوره (برای مثال اتمبیل ها) نیز مطالعه شده است . همچنین اثر میرایی نیز در تیر درنظر گرفته شده است.

[۱۳] آنالیز دینامیکی یک قوس یا کمان تحت بار متحرک انجام شده است . این قوس دایره ای و دارای شکل یکنواخت است، بار به صورت نقطه ای می باشد . تحلیل به صورت المان محدود نیز انجام شده و نتایج تطابق قابل قبولی دارد.

[۳] نوسانات در یک تیر آسیب دیده<sup>۴</sup> تحت اثر جرم متحرک بررسی شده است . نتایج به صورت ریاضی و عددی ارائه شده است. برای مدل سازی آسیب ها از فنرهای پیچشی استفاده شده است ، نتایج نشان می دهد که تطابق خوبی بین نتایج تحلیلی و تجربی وجود دارد .

---

<sup>r</sup>-STEPPED  
<sup>d</sup>-DAMAGED

[۱۲] یک سیستم با طول نا محدود متشکل از ورقی در تماس با یک مایع بررسی شده است. بار با سرعت ثابت مادون صوت از روی ورق عبور میکند. تحلیل ها به دو صورت ریاضی و عددی انجام شده است که در نهایت نتایج نشان دهنده همگرایی دو روش است.

[۲۰] Museros , Roderigo نوسانات تیر های با تکیه گاه ساده تحت بار متحرک با استفاده از دمپر های ویسکوز را بررسی کرده اند. هدف از این تحقیق یافتن راهکاری برای کاهش نوسانات تشدید در تیرها با تکیه گاه ثابت می باشد روش پیشنهاد شده ، استفاده از دمپر های ویسکوز که به تیر حامل بار و یک تیر کمکی زیرتیر اصلی وصل است می باشد. نتایج نشان می دهد که با استفاده از این روش نوسانات تشدید تیر به شدت کاهش خواهد یافت.

[۴] راه حل تحلیلی برای نوسانات ناشی از حرکت ترن و منوریل ارائه داده اند . نتایج این بررسی نشان می دهد که دلیل عدمه نوسانات فاصله بین مرکز برش پل وبار ترن می باشد.

[۱۶] Abu-Hilal تیر دوبل(دو تایی ) تحت بار متحرک با دامنه ثابت را بررسی کرده است . سیستم از دو تیر الاستیک همگن تشکیل شده که دارای تکیه گاه ثابت هستند و به صورت موازی بر روی یکدیگر قرار گرفته و با یک لایه ویسکو ا لاستیک به هم متصل شده اند . آثار سرعت حرکت بار، میرایی و الاستیسیبیته لایه ویسکو الاستیک، بر روی پاسخ تیرها بررسی شده است.

[۱۱] Yau , Yang شتاب عمودی تیر ساده در برابر بار های متوالی که با سرعت تشدید حرکت میکنند را بررسی کرده است . نتایج نشان می دهد که مکان شتاب ماکزیمم بسته به مود ارتعاش دارد و در نقطه وسط تیر اتفاق نمی افتد .

Baz Ruzzene , [۱۷] تحلیل دینامیکی پوسته های تقویت شده بارینگ را تحت بار متحرک مورد بررسی قرارداده است که تحلیل شامل بحث تئوری و مباحث المان محدود می باشد . نتایج تحقیق نشان می دهد که تقویت پوسته ها سرعت بحرانی را افزایش می دهد.

Martinez-Castro et al [۲] تیر با پهنهای متغیر تحت بار های متحرک را بررسی کرده است . در بررسی از دمپر های ویسکوزاستفاده شده است. بار با استفاده ازتابع دیراک مدل سازی شده وعلاوه بر مدل ریاضی نتایج عددی نیز بررسی شده است که نتایج تئوری را تایید می کند.

Xia et al [۹] مکانیزم پدیده تشديد و شرایط پدید آورنده آن در سیستم های پل و قطار را بررسی کرده است . تحقیقات به سه شیوه تئوری ، تحلیل عددی و آنالیز داده های تجربی انجام شده است . نتایج بیانگر این است که تشديد تحت تاثیر عرض پل، طول کل و همچنین چقرمگی پل، نحوه قرار گیری چرخ های قطار و همین طور فرکанс طبیعی وسیله نقلیه می باشد . با استفاده از نتایج این تحقیق می توان سرعت منجربه تشديد را برای پل ها محاسبه کرد.

Wang Ouyang , [۸] مدل دینامیکی برای نوسانات تیر چرخان تحت بار سه بعدی که در جهت محوری حرکت می کنдра بررسی کرده است . در تحلیل ها ممان خمی ایجاد شده توسط بخش محوری نیرو نیز در نظر گرفته شده است. نتایج نشان می دهد ممان خمی ناشی از بار محوری قابل ملاحظه بوده و باید در مسایل منظور شود.

Auerch [۱۵] میزان تا ثیربار متحرک بر نوسانات خاک و ریل راه آهن را بررسی کرده است. نتایج تحقیقات نشان میدهد که افزایش عرض مسیر و کاهش سرعت بار نوسانات خاک را کاهش میدهد .

Yang et al [۱۴] نوسانات اجباری و طبیعی تیر ناهمگن ترک دار تحت یک بار محوری و یک بار متحرک را بررسی نموده اند . بار محوری از نوع فشاری بوده ودهانه ترک بسته می شود و بار متحرک از نوع متمرکز است . نتایج بررسی نشان می دهد که نوسانات آزاد و پاسخ دینامیکی بیشتر تحت تاثیر بار محوری هستند تا لبه های ترک و همچنین تیرها با مدول یانگ کوچکتر نوسانات کمتر و تغییر شکل بیشتری دارند.

Chebli et al [۷] پاسخ دینامیکی ریل های تقویت شده با بالاست<sup>۵</sup> تحت بار ضربه را بررسی کرده اند. یک مدل سه بعدی برای ریل و خاک زیر آن ارائه شده و علاوه بر آن نتایج تجربی حاصل از خطوط راه آهن واقعی نیز ارائه شده است .

---

<sup>۵</sup> - BALLAST

## فصل دوم

روش های ریاضی تحلیل پوسته ها

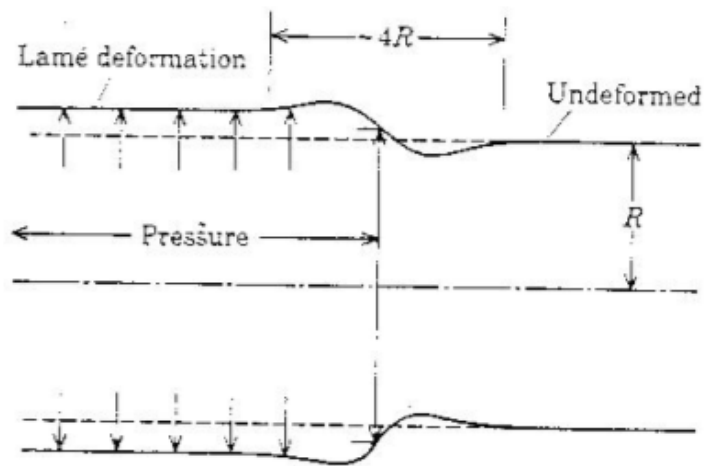
## ۱-۲ - روش حل موج (روش هرمن - میرسکی<sup>۱</sup>)

یکی از کاربردهای این روش ، بررسی حرکت گلوله ها در لوله می باشد . با توجه به اینکه محدوده اثر فشار در پشت گلوله با زمان در حال افزایش است می توان آن را یک بار متحرک گستردۀ دانست.

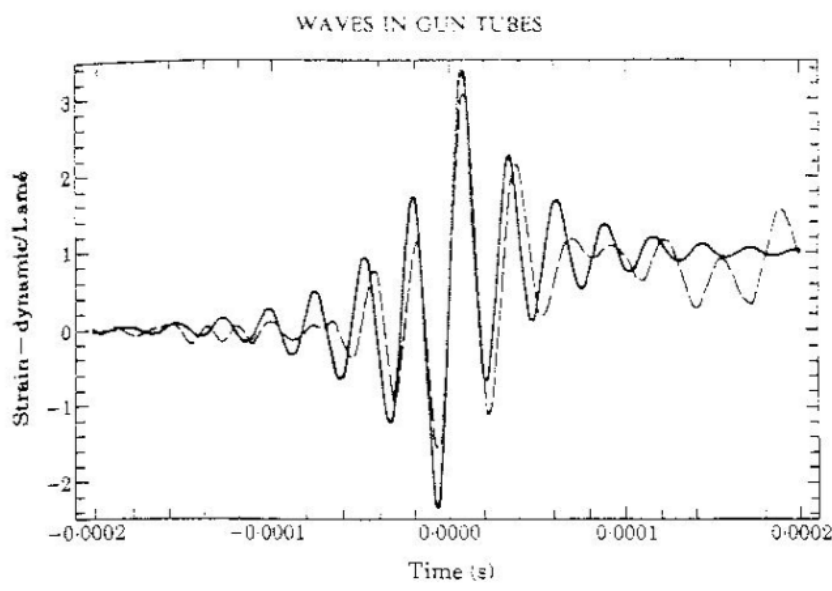
تجربه نشان میدهد که کرنشهای ایجاد شده در مخازن تحت بار متحرک با سرعت با لا تقریبا سه برابر بیشتر از آن چیزی است که در حالت استاتیکی وجود دارد. برای درک بهتر مسئله درشکل ۱-۲ کرنشهای ایجاد شده در مخزن به طول ۶۰ میلیمتر نشان داده شده است. در شکل کرنش به شکل یک نوسان شدید درنزدیکی لحظه صفر(جایی که فشار در حل عبور از آن نقطه است) مشخص است. درشکل ۲-۲ مقادیر کرنشهای نسبت به مقدار استاتیکی و در محدوده زمان کوچک نشان داده شده است . میزان تغییر شکل در جداره مخزن در منطقه تحت فشار به مقدار ماکزیمم میرسد . بصورت مشابه در قسمتی که هنوز فشار به آن وارد نمیشود پس از یک فاصله کوتاه مقدار تغییر شکل صفر است. کلیه این فرایند در محدوده ای تقریبا چهار برابر شعاع متوسط مخزن اتفاق می افتد که در شکل ۱-۲ مشخص شده است .

---

<sup>۱</sup>-HERMANN-MIRSKY



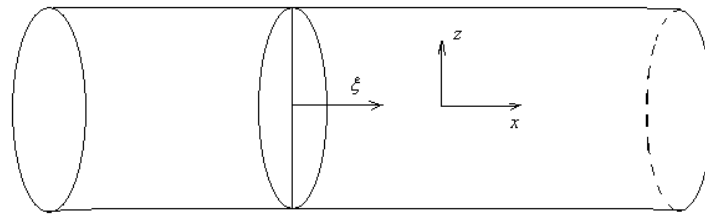
شکل ۲-۱- مخزن تحت فشار داخلی [۱۹]



شکل ۲-۲- دامنه کرنش استاتیکی- خط چین پاسخ تجربی و خط پر رنگ نتایج تئوری است [۱۹]

## تئوری مسئله [۵,۱۰]

استوانه مفروض مسئله دارای شعاع درونی  $a$  و شعاع بیرونی  $b$  و خامت است. این مخزن دارای شعاع صفحه میانی  $\frac{R}{2} = \frac{(a+b)}{2}$  است و رابطه آن با شعاع هر نقطه مخزن بصورت  $r = R + z$  میباشد. در حل مسئله مختصات استوانه ای در نظر گرفته میشود به شکلی که محور  $x$  درجهت محور استوانه و  $z$  درجهت شعاع استوانه است.



شکل ۲-۳- مخزن استوانه ای و مختصات انتخاب شده

با استفاده از تئوری تغییر شکل برشی مقادیر زیر برای تغییر شکل در نظر گرفته میشود:

$$\begin{aligned} u_x &= u(x, t) + z\Psi_x(x, t) \\ u_z &= w(x, t) + z\Psi_z(x, t) \end{aligned} \quad (1-2)$$

مقادیر کرنشها در مختصات استوانه ای بصورت زیر است:

$$\begin{aligned}
 e_{xx} &= \frac{\partial u_x}{\partial x} = \frac{\partial u}{\partial x} + z \frac{\partial \psi_x}{\partial x} \\
 e_{\theta\theta} &= \frac{u_z}{R+z} = \frac{w}{R+z} + \frac{z \psi_z}{R+z} \\
 \gamma_{x\theta} &= 0 \\
 e_{zz} &= \frac{\partial u_z}{\partial z} \\
 \gamma_{z\theta} &= 0 \\
 \gamma_{zx} &= \frac{\partial u_z}{\partial x} + \frac{\partial u_x}{\partial z} = \frac{\partial w}{\partial x} + \psi_x + z \frac{\partial \psi_z}{\partial x}
 \end{aligned} \tag{۲-۲}$$

اصل هامیلتون<sup>۲</sup>:

اصل هامیلتون بیانگر این است که :

$$\delta \int_{t_1}^{t_2} L dt = 0 \tag{۳-۲}$$

$$\delta L = \delta T - \delta W + \delta W^*$$

که  $T$  انرژی جنبشی و  $W$  کار انجام شده و  $W^*$  انرژی کرنشی است .

چگالی انرژی کرنشی بصورت زیر تعریف میشود:

$$2W^* = \sigma_{xx} e_{xx} + \sigma_{\theta\theta} e_{\theta\theta} + \sigma_{zz} e_{zz} + \sigma_{xz} \gamma_{xz} \tag{۴-۲}$$

---

<sup>۲</sup>-HAMILTON PRINCIPLE

که برای این مسئله:

$$2W^* = \sigma_{xx} \left( \frac{\partial u_x}{\partial x} + z \frac{\partial \psi_x}{\partial x} \right) + \sigma_{\theta\theta} \left( \frac{w}{R+z} + \frac{z}{R+z} \psi_z \right) + \sigma_{zz} \psi_z + \sigma_{xz} \left( \psi_z + \frac{\partial w}{\partial x} + z \frac{\partial \psi_z}{\partial x} \right)$$

(۵-۲)

برای بدست آوردن انرژی کرنشی لازم است تا انتگرالگیری روی حجم انجام شود. المان حجم در مختصات استوانه‌ای  $d\theta(R+z)drdz$  دیدننظر گرفته می‌شود:

$$\frac{W^*}{\pi} = \int_{-l/2}^{l/2} \left[ RN_{xx} \frac{\partial u}{\partial x} + RM_{xx} \frac{\partial \psi_x}{\partial x} + N_{\theta\theta} w + M_{\theta\theta} \psi_z + RN_{xx} \psi_z + RQ_x \left( \psi_x + \frac{\partial w}{\partial x} \right) + RM_{xz} \frac{\partial \psi_z}{\partial x} \right] dx \quad (6-2)$$

که تغییرات آن:

$$\begin{aligned} \frac{\delta W^*}{\pi} &= \int_{-l/2}^{l/2} \int [RN_{xx} \delta \frac{\partial u}{\partial x} + RM_{xx} \delta \frac{\partial \psi_x}{\partial x} + N_{\theta\theta} \delta w + M_{\theta\theta} \delta \psi_z + RN_{xx} \delta \psi_z \\ &+ RQ_x \delta \left( \psi_x + \frac{\partial w}{\partial x} \right) + RM_{xz} \delta \frac{\partial \psi_z}{\partial x}] dx \end{aligned} \quad (7-2)$$

و در آن:

$$\begin{aligned}
 N_{xx} &= \int_{-\frac{h}{2}}^{\frac{h}{2}} \sigma_{xx} (1 + \frac{z}{R}) dz & M_{xx} &= \int_{-\frac{h}{2}}^{\frac{h}{2}} \sigma_{xx} (1 + \frac{z}{R}) z dz & N_{\theta\theta} &= \int_{-\frac{h}{2}}^{\frac{h}{2}} \sigma_{\theta\theta} dz \\
 M_{\theta\theta} &= \int_{-\frac{h}{2}}^{\frac{h}{2}} \sigma_{\theta\theta} z dz & M_{xz} &= \int_{-\frac{h}{2}}^{\frac{h}{2}} \sigma_{xz} (1 + \frac{z}{R}) z dz & N_{zz} &= \int_{-\frac{h}{2}}^{\frac{h}{2}} \sigma_{zz} (1 + \frac{z}{R}) dz \\
 Q_x &= \int_{-\frac{h}{2}}^{\frac{h}{2}} \sigma_{xz} (1 + \frac{z}{R}) dz
 \end{aligned}$$

(۸-۲)

چگالی انرژی جنبشی به شکل زیر تعریف می شود:

$$T^* = \frac{1}{2} \left[ \left( \frac{\partial u_x}{\partial t} \right)^2 + \left( \frac{\partial u_z}{\partial t} \right)^2 \right] \quad (9-2)$$

بنابراین انرژی جنبشی:

$$\begin{aligned}
 \frac{T}{\pi} &= \int_{-\frac{h}{2}}^{\frac{h}{2}} \rho [Rh \left( \frac{\partial u}{\partial t} \right)^2 + Rh \left( \frac{\partial w}{\partial t} \right)^2 + \frac{h^2}{6} \left( \frac{\partial u}{\partial t} \right) \left( \frac{\partial \psi_x}{\partial t} \right) + \\
 &\quad \frac{h^3}{6} \left( \frac{\partial w}{\partial t} \right) \left( \frac{\partial \psi_z}{\partial t} \right) + \frac{Rh^3}{12} \left( \frac{\partial \psi_x}{\partial t} \right)^2 + \frac{Rh^3}{12} \left( \frac{\partial \psi_z}{\partial t} \right)^2] dx
 \end{aligned}$$

(10-2)

وتغییرات آن:

$$\begin{aligned} \delta \frac{T}{2\pi} = & \int_{-\frac{h}{2}}^{\frac{h}{2}} \rho [Rh \left( \frac{\partial u}{\partial t} \right) \delta \left( \frac{\partial u}{\partial t} \right) + Rh \left( \frac{\partial w}{\partial t} \right) \delta \left( \frac{\partial w}{\partial t} \right) + \frac{h^3}{12} \left( \frac{\partial u}{\partial t} \right) \delta \left( \frac{\partial \psi_x}{\partial t} \right) + \frac{h^3}{12} \left( \frac{\partial \psi_x}{\partial t} \right) \delta \left( \frac{\partial u}{\partial t} \right) \\ & + \frac{h^3}{12} \left( \frac{\partial w}{\partial t} \right) \delta \left( \frac{\partial \psi_z}{\partial t} \right) + \frac{h^3}{12} \delta \left( \frac{\partial w}{\partial t} \right) \left( \frac{\partial \psi_z}{\partial t} \right) + \frac{Rh^3}{12} \left( \frac{\partial \psi_x}{\partial t} \right) \delta \left( \frac{\partial \psi_z}{\partial t} \right) + \frac{Rh^3}{12} \left( \frac{\partial \psi_z}{\partial t} \right) \delta \left( \frac{\partial \psi_x}{\partial t} \right)] dx \end{aligned} \quad (11-2)$$

اگر  $f_x$  مقدار نیرو در واحد سطح و در جهت  $x$  و همچنین  $f_y$  نیرو در واحد سطح در جهت  $y$  باشد، تغییرات کار انجام گرفته را میتوان بدست آورد:

$$\delta W = \iint (f_x \delta u_x + f_z \delta u_z) ds \quad (12-2)$$

حال با انتگرالگیری روی سطح پوسته می‌توان کار را بدست آورد. سطوح عبارتند از سطوح

$$x = \frac{l}{2}, x = -\frac{l}{2}, z = -\frac{h}{2}, z = \frac{h}{2}$$

بنابراین کار بدست می‌آید:

$$\begin{aligned} \delta W = & 2\pi R \int_{-\frac{l}{2}}^{\frac{l}{2}} (F_x \delta u + m_x \delta \psi_x + q \delta w + m_z \delta \psi_z) dx + \\ & 2\pi R [N_{xx}^* \delta u + M_{xx}^* \delta \psi_x + Q_x \delta w + M_{xz}^* \delta \psi_z] \end{aligned} \quad (13-2)$$

که در آن:

$$\begin{aligned} F_x &= f_x \left(1 + \frac{z}{R}\right) & m_x &= f_x z \left(1 + \frac{z}{R}\right) \\ q &= f_z \left(1 + \frac{z}{R}\right) & m_z &= f_z z \left(1 + \frac{z}{R}\right) \end{aligned} \quad (14-2)$$

$$\begin{aligned} N_{xx}^* &= \int_{-h/2}^{h/2} f_x (1 + \frac{z}{R}) dz & M_{xx}^* &= \int_{-h/2}^{h/2} f_x z (1 + \frac{z}{R}) dz \\ Q_x^* &= \int_{-h/2}^{h/2} f_z (1 + \frac{z}{R}) dz & M_{xz}^* &= \int_{-h/2}^{h/2} f_z z (1 + \frac{z}{R}) dz \end{aligned} \quad (15-2)$$

با جایگذاری مقادیر بدست آمده در اصل هامیلتون:

$$\begin{aligned} \delta L &= \int_{-l/2}^{l/2} \int_{t_1}^{t_2} 2\pi \left[ -Rh\rho \ddot{u} - \frac{\rho h^3}{12} \ddot{\psi}_x + RN'_{xx} + RF_x \right] \delta u \\ &\quad - \left( -\frac{\rho h^3}{12} \ddot{u} - R \frac{\rho h^3}{12} \ddot{\psi}_x - RQ_x + RM'_{xx} + Rm_x \right) \delta \psi_x + \\ &\quad \left( -Rh\rho \ddot{w} - \frac{\rho h^3}{12} \ddot{\psi}_x - N_{\theta\theta} + RQ'_x + Rq \right) \delta w + \\ &\quad \left( -R \frac{\rho h^3}{12} \ddot{\psi}_x - \frac{\rho h^3}{12} \ddot{w} - M_{\theta\theta} - RN_{zz} + RM'_{xz} + Rm_z \right) \delta \psi_z ] dx dt \\ &\quad + 2\pi R [ (N_{xx}^* - N_{xx}) \delta u + (M_{xx}^* - M_{xx}) \delta \psi_x + (Q_x^* - Q_x) \delta w \\ &\quad + (M_{xz}^* - M_{xz}) \delta \psi_z ] \Big|_{x=-l/2}^{x=l/2} = 0 \end{aligned} \quad (16-2)$$

بنابراین معادلات حرکت عبارتنداز:

$$N'_{xx} + F_x = \rho h \left( \ddot{u} + \frac{h^2}{12R} \ddot{\psi}_x \right) \quad (17-2)$$

$$M'_{xx} - Q_x + m'_x = \frac{\rho h^3}{12} \left( \ddot{\psi}_x + \frac{1}{R} \ddot{u} \right) \quad (18-2)$$

$$Q'_x - \frac{N_{\theta\theta}}{R} + q = \rho h \left( \ddot{w} + \frac{h^2}{12R} \ddot{\psi}_z \right) \quad (19-2)$$

$$M'_{xz} - N_{zz} + \frac{M_{\theta\theta}}{R} + m_z = \frac{\rho h^3}{12} \left( \ddot{\psi}_x + \frac{1}{R} \ddot{w} \right) \quad (20-2)$$

با استفاده از قانون هوک:

$$\sigma_{xx} = (\lambda + 2\mu)e_{xx} + \lambda(e_{\theta\theta} + e_{zz}) \quad (21-2)$$

$$\sigma_{\theta\theta} = (\lambda + 2\mu)e_{\theta\theta} + \lambda(e_{xx} + e_{zz}) \quad (22-2)$$

$$\sigma_{zz} = (\lambda + 2\mu)e_{zz} + \lambda(e_{xx} + e_{\theta\theta}) \quad (23-2)$$

$$\sigma_{zx} = \mu \gamma_{xz} \quad (24-2)$$

که در آن  $\sigma$  تنش عمودی،  $e$  کرنش،  $\gamma$  تغییر شکل برشی و  $\mu, \lambda$  ضرایب لامه هستند. با قرار دادن

کرنشهای بدست آمده در عبارات ( ۲۱-۲ تا ۲۴-۲ ) و همچنین قرار دادن آنها در عبارات مربوط به

منتجه های تنش ( ۲۰-۲ تا ۱۷-۲ ) و انتگرال گیری :

$$N_{xx} = (\lambda + 2\mu)h \left( u' + \frac{h^2}{12R} \psi'_x \right) + \lambda h \left( \psi_z + \frac{w}{R} \right) \quad (25-2)$$

$$M_{xx} = \frac{(\lambda + 2\mu)h^3}{12R} (u' + R\psi'_x) + \frac{\lambda h^3}{6R} \psi_z \quad (26-2)$$

$$N_{\theta\theta} = (\lambda + 2\mu)(\alpha w + \beta \psi_z) + \lambda h(u' + \psi_z) \quad (27-2)$$

$$M_{\theta\theta} = (\lambda + 2\mu)(\beta w + \eta \psi_z) + \frac{\lambda h^3}{12} \psi'_x \quad (28-2)$$

$$N_{zz} = (\lambda + 2\mu)h\psi_z + \lambda h \left( u' + \frac{w}{R} + \frac{h^2}{12R} \psi'_x \right) \quad (29-2)$$

$$Q_x = \kappa^2 \mu h \left( \psi_x + w' + \frac{h^2}{12R} \psi'_z \right) \quad (30-2)$$

$$M_{xz} = \kappa^2 \frac{\mu h^3}{12R} (\psi_x + w' + R\psi'_z) \quad (31-2)$$

که در آن  $\kappa$  ضریب تصحیح برشی میباشد.

$$\sigma = \int_{-h/2}^{h/2} \frac{dz}{R+z} = \log \frac{1+h/2R}{1-h/2R} \quad (32-2)$$

$$\beta = \int_{-h/2}^{h/2} z \frac{dz}{R+z} = h - R\sigma \quad (33-2)$$

$$\eta = \int_{-h/2}^{h/2} z^2 \frac{dz}{R+z} = \sigma R^2 - Rh \quad (34-2)$$

## استخراج دستگاه معادلات:

با قرار دادن متجه های تنش در معادلات حرکت (۲۰-۲۱) معادلات زیر حاصل می شود:

$$(\lambda + 2\mu)h \left( \frac{\partial^2 u}{\partial x^2} + \frac{h^2}{12R} \frac{\partial^2 \psi_x}{\partial x^2} \right) + \lambda h \left( \frac{\partial \psi_z}{\partial x} + \frac{1}{R} \frac{\partial w}{\partial x} \right) + F_x = \rho h \left( \frac{\partial^2 u}{\partial t^2} + \frac{h^2}{12R} \frac{\partial^2 \psi_x}{\partial t^2} \right) \quad (35-2)$$

$$\begin{aligned} & (\lambda + 2\mu) \frac{h^3}{12R} \left( \frac{\partial^2 u}{\partial x^2} + R \frac{\partial^2 \psi_x}{\partial x^2} \right) + \frac{\lambda h^3}{6R} \frac{\partial \psi_z}{\partial x} - \kappa^2 \mu h \left( \psi_x + \frac{\partial w}{\partial x} + \frac{h^2}{12R} \frac{\partial \psi_z}{\partial x} \right) + m_x = \\ & \frac{\rho h^3}{12} \left( \frac{\partial^2 \psi_x}{\partial t^2} + \frac{1}{R} \frac{\partial^2 u}{\partial t^2} \right) \end{aligned} \quad (36-2)$$

$$\begin{aligned} & \kappa^2 \mu h \left( \frac{\partial \psi_x}{\partial x} + \frac{\partial^2 w}{\partial x^2} + \frac{h^2}{12R} \frac{\partial^2 \psi_z}{\partial x^2} \right) - \frac{(\lambda + 2\mu)}{R} (\alpha w + \beta \psi_z) + \lambda h \left( \frac{\partial u}{\partial x} + \psi_z \right) + q = \\ & \rho h \left( \frac{\partial^2 u}{\partial t^2} + \frac{u^2}{12R} \frac{\partial^2 \psi_z}{\partial t^2} \right) \end{aligned} \quad (37-2)$$

$$\begin{aligned} & \frac{\kappa^2 \mu h^3}{12R} \left( \frac{\partial \psi_x}{\partial x} + \frac{\partial^2 w}{\partial x^2} + R \frac{\partial^2 \psi_z}{\partial x^2} \right) - (\lambda + 2\mu) h \psi_z - \lambda h \left( \frac{\partial u}{\partial x} + \frac{w}{R} + \frac{h^2}{12R} \frac{\partial \psi_x}{\partial x} \right) + \\ & \frac{(\lambda + 2\mu)}{R} (\beta w + \mu \psi_z) + \frac{\lambda h^3}{12R} \frac{\partial \psi_x}{\partial x} + m_z = \frac{\rho h^3}{12} \left( \frac{\partial^2 \psi_x}{\partial t^2} + \frac{1}{R} \frac{\partial^2 w}{\partial t^2} \right) \end{aligned} \quad (38-2)$$

درنهایت دستگاه معادلات هرمن-میرسکی با مرتب نمودن معادلات ۳۸-۲ تا ۳۵-۲ بدست می آید :

$$\begin{bmatrix} L_{11} & L_{12} & L_{13} & L_{14} \\ L_{12} & L_{22} & L_{23} & L_{24} \\ -L_{13} & -L_{23} & L_{33} & L_{34} \\ -L_{14} & -L_{24} & L_{34} & L_{44} \end{bmatrix} \begin{bmatrix} u(x,t) \\ \psi_x(x,t) \\ w(x,t) \\ \psi_z(x,t) \end{bmatrix} + \begin{bmatrix} F_x/h \\ m_x/h \\ q/h \\ m_z/h \end{bmatrix} = 0 \quad (39-2)$$

$$L_{11} = (\lambda + 2\mu)( )_{xx} - \rho( )_{tt}$$

$$L_{12} = L_{11} \frac{h^2}{12R}$$

$$L_{13} = \frac{\lambda}{R}( )_x$$

$$L_{14} = \lambda( )_x$$

$$L_{22} = L_{11} \frac{h^2}{12} - \kappa^2 \mu$$

$$L_{23} = -\kappa^2 \mu( )_x$$

$$L_{24} = (2\lambda - \kappa^2 \mu) \left( \frac{h^2}{12R} \right) ( )_x$$

$$L_{33} = \kappa^2 \mu( )_{xx} - (\lambda - 2\mu) \sigma/Rh - \rho( )_{tt}$$

$$L_{34} = \left( \kappa^2 \mu h^2 \Big/ 12R \right) ( )_{xx} - (\lambda + 2\mu) \frac{\beta}{Rh} - \frac{\lambda}{R} - \frac{\rho h^2}{12R} ( )_{tt}$$

$$L_{44} = \frac{\kappa^2 \mu h^2}{12} ( )_{xx} - (\lambda + 2\mu) \left( 1 + \frac{\eta}{Rh} \right) \frac{\rho h^2}{12} ( )_{tt}$$

که در آن  $u, w$  جابجایی صفحه میانی درجهات شعاعی و محوری،  $\psi_x, \psi_z$  چرخش حول محورهای شعاعی و محوری،  $\mu, \lambda$  ضرایب لامه،  $h$  ضخامت پوسته،  $R$  شعاع متوسط،  $K$  ضریب تصحیح برشی و  $\rho$  چگالی پوسته می باشد.

## حل معادلات:

برای حل معادلات از روش حل موج با تغییر متغیر زیر استفاده می شود:

$$\begin{bmatrix} u \\ \psi_x \\ w \\ \psi_z \end{bmatrix} = \begin{bmatrix} A \\ B \\ C \\ D \end{bmatrix} e^{-i\alpha(x-Vt)} \quad \xi = x - Vt \quad (40-2)$$

با حل اولین معادله از دستگاه معادلات هرمن-میرسکی و مساوی صفر قرار دادن آن:

$$[(\lambda + 2\mu)] \frac{\partial^2 u}{\partial x^2} - \rho \frac{\partial^2 u}{\partial t^2} + \frac{h^2}{12R} \left[ (\lambda + 2\mu) \frac{\partial^2 \psi_x}{\partial x^2} - \rho \frac{\partial^2 \psi_x}{\partial t^2} \right] + \frac{\lambda}{R} \frac{\partial w}{\partial x} + \lambda \frac{\partial \psi_z}{\partial x} = 0 \quad (41-2)$$

با اعمال تغییر متغیر و تبدیل متغیرها به  $\xi$ :

$$[(\lambda + 2\mu) - \rho V^2] \frac{\partial^2 u}{\partial \xi^2} + \left[ \frac{h^2}{12R} (\lambda + 2\mu) - \frac{\rho h^2 V^2}{12R} \right] \frac{\partial^2 \psi_x}{\partial \xi^2} + \frac{\lambda}{R} \frac{\partial w}{\partial \xi} + \lambda \frac{\partial \psi_z}{\partial \xi} = 0 \quad (42-2)$$

بالنتگرالگیری نسبت به  $\xi$  و مساوی صفر قرار دادن آن ها :

$$((\lambda + 2\mu)h - \rho h V^2) \left( \frac{\partial u}{\partial \xi} + \frac{h^2}{12R} \frac{\partial \psi_x}{\partial \xi} \right) + \lambda h \left( \psi_z + \frac{w}{R} \right) = C \quad (43-2)$$

که  $C$  ثابت انتگرال است.

با در نظر گرفتن :

$$N_{xx} = (\lambda + 2\mu)h \left( \frac{\partial u}{\partial \xi} + \frac{h^2}{12R} \frac{\partial \psi_x}{\partial \xi} \right) + \lambda h \left( \psi_z + \frac{w}{R} \right) \quad (44-2)$$

اگر مقدار سرعت از سرعت موج های طولی خیلی کوچکتر باشد:

$$V \ll \sqrt{\frac{\lambda + 2\mu}{\rho}} \quad (45-2)$$

در این صورت  $C = N_{xx}$  که با توجه به اینکه در راستای  $x$  تنش صفر است.

با استخراج مقادیر زیر از معادله اول:

$$\frac{\partial u}{\partial \xi} = \frac{-\lambda h \left( \psi_z + \frac{w}{R} \right)}{(\lambda + 2\mu)h - \rho h V^2} - \frac{h^2}{12R} \frac{\partial \psi_x}{\partial \xi} \quad (46-2)$$

$$\frac{\partial^2 u}{\partial \xi^2} = \frac{-\lambda h \left( \frac{\partial \psi_z}{\partial \xi} + \frac{1}{R} \frac{\partial w}{\partial \xi} \right)}{(\lambda + 2\mu)h - \rho h V^2} - \frac{h^2}{12R} \frac{\partial^2 \psi_x}{\partial \xi^2} \quad (47-2)$$

بادرنظر گرفتن تبدیلات زیر:

$$( )_{tt} = V^2 ( )_{\xi\xi}, ( )_x = ( )_\xi, ( )_{xx} = ( )_{\xi\xi}$$

و با جایگذاری در سه معادله دیگر:

$$\begin{aligned} & \left[ (\lambda + 2\mu) \frac{\partial^2 \psi_x}{\partial x^2} - \rho \frac{\partial^2 \psi_x}{\partial t^2} \right] \frac{h^2}{12} - \kappa^2 \mu \psi_x - \kappa^2 \mu \frac{\partial w}{\partial x} \\ & + (2\lambda - \kappa^2 \mu) \frac{h^2}{12R} \frac{\partial \psi_x}{\partial x} = 0 \end{aligned} \quad (48-2)$$

$$\begin{aligned} & \kappa^2 \mu \frac{\partial \psi_x}{\partial x} + \kappa^2 \mu \frac{\partial^2 w}{\partial x^2} - (\lambda + 2\mu) \frac{\sigma}{Rh} w - \rho \frac{\partial^2 w}{\partial t^2} + \frac{\kappa^2 \mu h^2}{12R} \frac{\partial^2 \psi_z}{\partial x^2} \\ & - (\lambda + 2\mu) \frac{\beta}{Rh} \psi_z - \frac{\lambda}{R} \psi_z - \frac{\rho h^2}{12R} \frac{\partial^2 \psi_z}{\partial t^2} = 0 \end{aligned} \quad (49-2)$$

$$\begin{aligned} & (\kappa^2 \mu - 2\lambda) \frac{h^2}{12R} \frac{\partial \psi_x}{\partial x} + \frac{\kappa^2 \mu h^2}{12R} \frac{\partial^2 w}{\partial x^2} - (\lambda + 2\mu) \frac{\beta}{Rh} w - \frac{\lambda}{R} w \\ & - \frac{\rho h^2}{12R} \frac{\partial^2 w}{\partial t^2} + \frac{\kappa^2 \mu h^2}{12} \frac{\partial^2 \psi_z}{\partial x^2} - (\lambda + 2\mu) \left( 1 + \frac{\eta}{Rh} \right) \psi_z - \frac{\rho h^2}{12} \frac{\partial^2 \psi_z}{\partial t^2} = 0 \end{aligned} \quad (50-2)$$

با تبدیل مشتقهای نسبت به  $x, t$  به مشتقهای نسبت به  $\xi$  و جایگذاری در معادلات :

$$(\lambda + 2\mu - \rho V^2) \frac{h^2}{12} \frac{\partial^2 \psi_x}{\partial \xi^2} - \kappa^2 \mu \psi_x - \kappa^2 \mu \frac{\partial w}{\partial \xi} + (2\lambda - \kappa^2 \mu) \frac{h^2}{12R} \frac{\partial \psi_z}{\partial \xi} = 0 \quad (51-2)$$

$$\begin{aligned} & \kappa^2 \mu \frac{\partial \psi_x}{\partial \xi} + (\kappa^2 \mu - \rho V^2) \frac{\partial^2 w}{\partial \xi^2} - (\lambda + 2\mu) \frac{\sigma}{Rh} w + \left( \frac{\kappa^2 \mu h^2}{12R} - \frac{\rho h^2 V^2}{12R} \right) \frac{\partial^2 \psi_z}{\partial \xi^2} \\ & - \left[ (\lambda + 2\mu) \frac{\beta}{Rh} + \frac{\lambda}{R} \right] \psi_z = 0 \end{aligned} \quad (52-2)$$

$$\begin{aligned} & (\kappa^2 \mu - 2\lambda) \frac{h^2}{12R} \frac{\partial \psi_x}{\partial \xi} + \frac{\kappa^2 \mu h^2}{12R} \frac{\partial^2 w}{\partial \xi^2} - (\lambda + 2\mu) \frac{\beta}{Rh} w - \frac{\lambda}{R} w - \frac{\rho h^2 V^2}{12R} \frac{\partial^2 w}{\partial \xi^2} \\ & + \frac{\kappa^2 \mu h^2}{12} \frac{\partial^2 \psi_z}{\partial \xi^2} - (\lambda + 2\mu) \left( 1 + \frac{\eta}{Rh} \right) \psi_z - \frac{\rho h^2 V^2}{12} \frac{\partial^2 \psi_z}{\partial \xi^2} = 0 \end{aligned} \quad (53-2)$$

با درنظر گرفتن حل موج :

$$\begin{bmatrix} \psi_x \\ w \\ \psi_z \end{bmatrix} = \begin{bmatrix} A \\ B \\ C \end{bmatrix} e^{-i\alpha\xi} \quad (54-2)$$

و با جایگزین کردن در معادلات :

$$(\rho V^2 - \lambda - 2\mu) \frac{h^2}{12} \alpha^2 A e^{-i\alpha\xi} - \kappa^2 \mu A e^{-i\alpha\xi} + \kappa^2 \mu i \alpha B e^{-i\alpha\xi} + (\kappa^2 \mu - 2\lambda) \frac{h^2}{12R} C i \alpha e^{-i\alpha\xi} = 0$$

(55-2)

$$\begin{aligned} & (2\lambda - \kappa^2 \mu) \frac{h^2}{12R} i \alpha A e^{-i\alpha\xi} - \frac{\kappa^2 \mu h^2}{12R} \alpha^2 B e^{-i\alpha\xi} - (\lambda + 2\mu) \frac{\beta}{Rh} B e^{-i\alpha\xi} - \frac{\lambda}{R} B e^{-i\alpha\xi} \\ & + \frac{\rho h^2 V^2}{12R} \alpha^2 B e^{-i\alpha\xi} - \frac{\kappa^2 \mu h^2}{12} \alpha^2 C e^{-i\alpha\xi} - (\lambda + 2\mu) \left(1 + \frac{\eta}{Rh}\right) C e^{-i\alpha\xi} \\ & + \frac{\rho h^2 V^2}{12} \alpha^2 C e^{-i\alpha\xi} = 0 \end{aligned} \quad (56-2)$$

$$\begin{aligned} & - \kappa^2 \mu i \alpha A e^{-i\alpha\xi} + (\rho V^2 - \kappa^2 \mu) \alpha^2 A e^{-i\alpha\xi} - (\lambda + 2\mu) \frac{\sigma}{Rh} B e^{-i\alpha\xi} + \\ & \left( \frac{\kappa^2 \mu h^2}{12R} - \frac{\rho h^2 V^2}{12R} \right) (-\alpha^2 C e^{-i\alpha\xi}) - \left[ (\lambda + 2\mu) \frac{\beta}{Rh} + \frac{\lambda}{R} \right] C e^{-i\alpha\xi} = 0 \end{aligned} \quad (57-2)$$

با فاکتورگیری از ضرایب A,B,C

$$\left\{ \left[ (\rho V^2 - \lambda - 2\mu) \frac{h^2}{12} \alpha^2 - \kappa^2 \mu \right] A + \kappa^2 \mu i \alpha B + (\kappa^2 \mu - 2\lambda) \frac{h^2}{12R} i \alpha C \right\} e^{-i \alpha \xi} \quad (58-2)$$

$$\left\{ \begin{aligned} & \left[ -\kappa^2 \mu i \alpha + (\rho V^2 - \kappa^2 \mu) \alpha^2 \right] A - (\lambda + 2\mu) \frac{\sigma}{Rh} B + \\ & \left[ \left( \frac{\rho h^2 V^2}{12R} - \frac{\kappa^2 \mu h^2}{12R} \right) \alpha^2 - (\lambda + 2\mu) \frac{\beta}{Rh} - \frac{\lambda}{R} \right] C \end{aligned} \right\} e^{-i \alpha \xi} \quad (59-2)$$

$$\left\{ \begin{aligned} & \left[ (2\lambda - \kappa^2 \mu) \frac{h^2}{12R} i \alpha \right] A + \left[ -\frac{\kappa^2 \mu h^2}{12R} \alpha^2 - (\lambda + 2\mu) \frac{\beta}{Rh} - \frac{\lambda}{R} + \frac{\rho h^2 V^2}{12R} \alpha^2 \right] B \\ & + \left[ \frac{\rho h^2 V^2}{12} \alpha^2 - (\lambda + 2\mu) \left( 1 + \frac{\eta}{Rh} \right) - \frac{\kappa^2 \mu h^2}{12} \alpha^2 \right] C \end{aligned} \right\} e^{-i \alpha \xi} \quad (60-2)$$

حال با صفر قرار دادن دترمینان ضرایب مقادیر  $\alpha$  بدست خواهد آمد. جواب کلی معادله بصورت زیر

است:

$$\begin{bmatrix} \psi_x \\ w \\ \psi_z \end{bmatrix}^I = \sum_{j=1}^3 a_j \begin{bmatrix} e_{j1} \\ e_{j2} \\ 1 \end{bmatrix} e^{-i \alpha \xi} + \begin{bmatrix} \psi_x \\ w \\ \psi_z \end{bmatrix}^p \quad (61-2)$$

که  $e_j$ ،  $\mathbf{j}$  امین بردار ویژه نرمالیزه<sup>۳</sup> شده ماتریس ضرایب با توجه به مقدار  $\alpha$  است.

برای جواب خصوصی معادله ازروش کرامر استفاده میشود:

$$(G(\alpha)) \begin{bmatrix} A \\ B \\ C \end{bmatrix} = \begin{bmatrix} 0 \\ -q/h \\ -m_z/h \end{bmatrix} \quad (62-2)$$

که مثلا در منطقه ۱ (جایی که فشار وجوددارد):

$$W_p^I = \lim_{\alpha \rightarrow 0} \left| \frac{\bar{G}(\alpha)}{G(\alpha)} \right| \quad (63-2)$$

---

<sup>۳</sup>-NORMALIZED EIGEN VECTOR

پیوستگی :

برای بدست آوردن مقدار  $a_j$  در جواب عمومی به طریق زیر عمل می شود:

$$\begin{bmatrix} e_{11} & e_{21} & -e_{31} & e_{41} & -e_{51} & -e_{61} \\ -\alpha_1 e_{11} & -\alpha_2 e_{21} & -\alpha_3 e_{31} & \alpha_4 e_{41} & \alpha_5 e_{51} & \alpha_6 e_{61} \\ e_{12} & e_{22} & e_{32} & -e_{42} & -e_{52} & -e_{62} \\ -\alpha_1 e_{12} & -\alpha_2 e_{22} & -\alpha_3 e_{32} & \alpha_4 e_{42} & \alpha_5 e_{52} & \alpha_6 e_{62} \\ e_{13} & e_{23} & e_{33} & -e_{43} & -e_{53} & -e_{63} \\ -\alpha_1 e_{13} & -\alpha_2 e_{23} & -\alpha_3 e_{33} & \alpha_4 e_{43} & \alpha_5 e_{53} & \alpha_6 e_{63} \end{bmatrix} \begin{bmatrix} a_1 \\ a_2 \\ a_3 \\ a_4 \\ a_5 \\ a_6 \end{bmatrix} = \begin{bmatrix} 0 \\ 0 \\ -w^I_p \\ 0 \\ -\Psi^I_{zp} \\ 0 \end{bmatrix}$$

(۶۴-۲)

بررسی نتایج نشان می دهد که روش هرمن-میرسکی در مورد این مسئله و به طور کلی حالت هایی که سرعت زیر سرعت بحرانی است دقت خوبی دارد. بنابراین این روش در مورد لوله سلاح ها دقیق و قابل قبول است. نباید فراموش کرد که این روش تنها در  $v_{cr} < v$  قابل استفاده است. بنابراین به توصیه محقق در مواردی که مخازن جدار ضخیم تحت بار با سرعت نزدیک به سرعت بحرانی و کمتر از آن است بجای روش تبدیل فوریه<sup>۴</sup> بهتر است از این روش استفاده شود. با این وجود ناهماهنگی هایی در فرکанс امواج ناشی از پاسخ های تجربی در قیاس با جواب های تحلیلی دیده می شود که البته در مناطقی دور از منطقه حساس ( $0 = \zeta$ ) هستند و از اعتبار روش کم نمی کنند.

[۲۲] با انتخاب میدان جابجایی بصورت : Beltman

$$u_x = u + z \psi \quad (65-2)$$

$$u_z = w$$

به تحلیل پوسته نازک تحت بار شوک پرداخته است.

---

<sup>۴</sup>-FOURIER TRANSFORMATION

معادلات حاکم عبارتند از :

$$\begin{aligned} \frac{\partial N_{xx}}{\partial x} &= \rho h \frac{\partial^2 u}{\partial t^2} \\ \frac{\partial M_{xx}}{\partial x} - Q_x &= \rho h^3 \left( \frac{\partial^2 \psi}{\partial t^2} \right) \\ \frac{\partial Q_x}{\partial x} - \frac{N_{\theta\theta}}{R} + \Delta P &= \rho h \left( \frac{\partial^2 w}{\partial t^2} \right) \end{aligned} \quad (66-2)$$

منتجه های تنش به شکل زیر هستند:

$$\begin{aligned} N_{xx} &= \frac{Eh}{1-\nu^2} \left[ \frac{\partial u}{\partial x} + \nu \frac{w}{R} \right] & N_{\theta\theta} &= \frac{Eh}{1-\nu^2} \left[ \nu \frac{\partial u}{\partial x} + \frac{w}{R} \right] \\ M_{xx} &= \frac{Eh^3}{12(1-\nu^2)} \frac{\partial \psi}{\partial x} & Q_x &= \kappa G h \left[ \psi + \frac{\partial w}{\partial x} \right] \end{aligned} \quad (67-2)$$

$K$  ضریب تصحیح برشی،  $E$  مدول یانگ،  $h$  ضخامت پوسته،  $R$  شعاع متوسط پوسته،  $\nu$  جابجایی صفحه میانی درجهت  $x$ ،  $w$  جابجایی صفحه میانی درجهت  $z$  و  $\psi$  چرخش حول محور  $x$  است.

با توجه به اینکه مسئله درجهت  $x$  فاقد تنش است، از منتجه های تنش در راستای  $x$  می توان صرفنظر کرد. همچنین برای جابجایی بجای مقادیر معمول از مقادیر بی بعد استفاده می شود:

$$u = \frac{U}{h}, w = \frac{W}{h}, \psi_x = \frac{1}{\sqrt{12}} \Psi_x, \eta = \frac{\sqrt{12}}{h} [x - vt] \quad (68-2)$$

ساير مولفه های مسئله به صورت زير تعریف می شوند [۲۲] :

پارامتر تحریک<sup>۵</sup>:

$$\Lambda_j = \left( P_j - P_{atm} \right) \frac{R^2}{Eh^2} \quad j=1,2 \quad (69-2)$$

كه  $P_{atm}$  فشار هوای اطراف و  $P_j$  فشار در دو بخش مجزا در درون لوله است.

سرعت انتشار موج طولی<sup>۶</sup>:

$$v_d = \sqrt{\frac{E}{\rho(1-v^2)}} \quad (70-2)$$

سرعت انتشار موج برشی<sup>۷</sup>:

$$v_s = \sqrt{\frac{\kappa G}{\rho}} \quad (71-2)$$

پارامتر ضخامت پوسته:

$$\beta = \frac{h}{\sqrt{12} R} \quad (72-2)$$

جابجایی شعاعی  $w$  به دوبخش خمثی  $w_b$  و برشی  $w_s$  تقسیم می شود:

$$w = w_s + w_b$$

$$\psi_x = -\frac{\partial w_b}{\partial \eta} \quad (73-2)$$

<sup>۵</sup>-EXCITATION PARAMETER

<sup>۶</sup>-DILATATIONAL WAVE VELOCITY

<sup>۷</sup>-SHEAR WAVE VELOCITY

با جایگذاری این مقادیر در معادلات ۶۶-۲ و انتگرالگیری نسبت به  $\eta$  معادله زیر حاصل می شود:

$$w_s = -\left(\frac{v_d}{v_s}\right)^2 \left[ 1 - \left(\frac{v}{v_d}\right)^2 \right] \left( \frac{\partial^2 w_b}{\partial \eta^2} \right) \quad (74-2)$$

بارگذاری [۲۲]:

بارگذاری در این مسئله به گونه ای است که در دو حالت ودو موقعیت دو بار متفاوت وجوددارد که برخلاف حالات هرمن-میرسکی و یا در مسئله تبدیل فوریه مشاهده شد به صفر نمیرسد. در این حالت نیز میتوان ازتابع پله ای برای تعریف بار استفاده کرد:

$$F(\eta) = \beta^2 (1 - v^2) \{ \Lambda_1 + (\Lambda_2 - \Lambda_1) [1 - H(\eta)] \} \quad (75-2)$$

معادله حاکم بر مسئله عبارتست از :

$$A_4 \frac{\partial^4 w_b}{\partial \eta^4} + A_2 \frac{\partial^2 w_b}{\partial \eta^2} + A_0 w_b = F(\eta) \quad (76-2)$$

که ضرایب آن :

$$\begin{aligned} A_4 &= \left[ \left( \frac{v}{v_d} \right)^2 - 1 \right] \left[ \left( \frac{v}{v_s} \right)^2 - 1 \right] & A_2 &= \left( \frac{v}{v_d} \right)^2 \left[ 1 + \beta^2 \left( \frac{v_d}{v_s} \right)^2 \right] - \beta^2 (1 - v^2) \left( \frac{v_d}{v_s} \right)^2 \\ A_0 &= \beta^2 - \frac{\beta^2 v^2}{\left( \frac{v}{v_d} \right)^2 - 1} & & \end{aligned} \quad (77-2)$$

باتوجه به اينکه معادله داراي ضرائب ثابت است مقدار زير جايگزين می شود :

$$w = \exp(\alpha\eta) \quad (78-2)$$

با اعمال اين تغيير متغير معادله زير حاصل می شود :

$$A_4\alpha^4 - A_2\alpha^2 + A_0 = 0 \quad (79-2)$$

كه  $\alpha$  و شماره موج K از طريق معادله زير مرتبط هستند:

$$K = \sqrt{12} \frac{\alpha}{ih} \quad (80-2)$$

اگر دلتای معادله (79-2) برابر صفر قرار داده شود، مقدار سرعت های بحرانی<sup>۸</sup> بدست می آيد زیرا با کمی تغيير در پaramترهاي دلتا پاسخ ها تغيير اساسی خواهند يافت و نياز به حل های متفاوت خواهند داشت که در آن مشاهده خواهد شد :

$$A_2^2 - 4A_0A_4 = 0 \quad (81-2)$$

با در نظر گرفتن جواب های بدست آمده برای سرعت بحرانی حالات مختلفی پيش می آيد که در اين تحقیق تنها دو مورد آن مورد توجه است :

$$0 < v < v_{c0} \text{ در حالت } \alpha = \pm n \pm im$$

$$v_{c0} < v < v_{c1} \text{ در حالت } \alpha = \pm im_2 \text{ و } \alpha = \pm im_1$$

كه در آن  $v_{c0}$  سرعت بحرانی اول و  $v_{c1}$  سرعت بحرانی دوم است.

حالت اول ( $v < v_{c0}$ ) سرعت از  $v_{c0}$  سرعت بحرانی کوچکter است:

---

<sup>8</sup>-CRITICAL VELOCITY

برای حل مسئله در دوبخش بررسی می شود. منطقه ۱ حالتی که در آن  $\eta < 0$  (منطقه تحت فشار) و منطقه ۲ وقتی که  $\eta > 0$  (منطقه بدون فشار).

با در نظر گرفتن  $\alpha = \pm n \pm im$  و قراردادن در معاله و حل آن جواب زیر حاصل می شود:

در حالت  $\eta < 0$ :

$$w_b^I = \Lambda_{1s} - (\Lambda_{2s} - \Lambda_{1s}) \left\{ 1 + \frac{1}{8} \exp(n\eta) \left[ -4 \cos(m\eta) - 2 \frac{n^2 - m^2}{nm} \sin(m\eta) \right] \right\} \quad (82-2)$$

و در حالت  $\eta > 0$ :

$$w_b^{II} = \Lambda_{1s} - (\Lambda_{2s} - \Lambda_{1s}) \left\{ 1 + \frac{1}{8} \exp(-n\eta) \left[ 4 \cos(m\eta) - 2 \frac{n^2 - m^2}{nm} \sin(m\eta) \right] \right\} \quad (83-2)$$

که در آن ها:

$$\Lambda_{1s} = \beta^2 (1 - \nu^2) \frac{\Lambda_1}{A_0} \quad (84-2)$$

$$\Lambda_{2s} = \beta^2 (1 - \nu^2) \frac{\Lambda_2}{A_0}$$

حالت دوم  $v_{c1} < v < v_{c0}$  سرعت از  $v_{c1}$  بحرانی بزرگتر است):

دراین حالت مقادیر  $\alpha$  به شکل  $\alpha = \pm im_1$  و  $\alpha = \pm im_2$  است. در این حالت نیز همانند قبل دو منطقه  $\eta > 0$  و  $\eta < 0$  دارای حل جداگانه هستند.

بادر نظر گرفتن مقادیر  $\alpha$  جوابهای زیر حاصل می شود:

$$\begin{aligned}\Lambda_{1s} &= \beta^2(1-\nu^2) \frac{\Lambda_1}{A_0} \\ \Lambda_{2s} &= \beta^2(1-\nu^2) \frac{\Lambda_2}{A_0} \\ w_b^I &= \Lambda_{1s} - (\Lambda_{2s} - \Lambda_{1s}) \left\{ \left[ 1 + \frac{m_2^2}{m_1^2 - m_2^2} \right] \cos(m\eta) \right\} \\ w_b^{II} &= \Lambda_{1s} - (\Lambda_{2s} - \Lambda_{1s}) \left\{ \left[ \frac{m_1^2}{m_1^2 - m_2^2} \right] \cos(m\eta) \right\}\end{aligned}\quad (85-2)$$

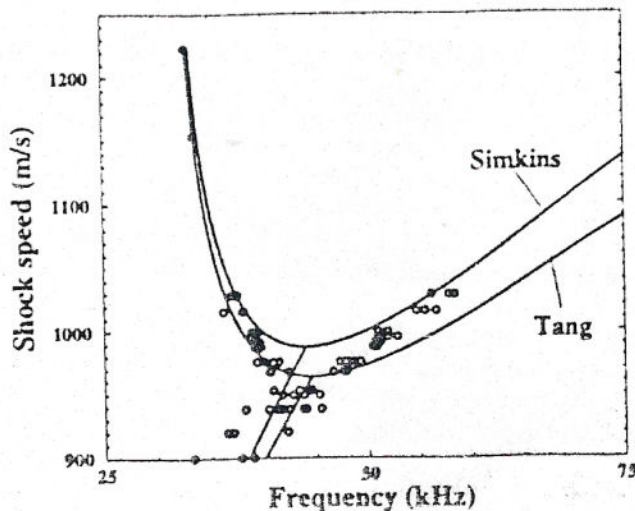
نتایج فرکانس ارتعاشات در دو حالت متفاوت بررسی می شوند. حالتی که سرعت کمتر از سرعت بحرانی باشد که حالت زیر بحرانی<sup>۹</sup> نامیده می شود و حالتی که سرعت بیش از سرعت بحرانی باشد که حالت فوق بحرانی<sup>۱۰</sup> نامیده می شود.

بررسی نتایج نشان میدهد که در حالت زیر بحرانی جواب های تجربی با پاسخ های تحلیلی حاصل از مدل های تانگ و سیمکینز تطابق ندارند، اما در حالتی که سرعت نزدیک به سرعت بحرانی یا فراتر از آن باشد دقت در پیش بینی فرکانس ها بیشتر است.

---

<sup>۹</sup>-SUBCRITICAL  
<sup>۱۰</sup>-SUPERCritical

شکل زیر نمایانگر تفاوت ها در جواب فرکانس ها در حالات مختلف و مقایسه آن با پاسخ های تحلیلی است:



۴-۲- فرکانس تجربی ارتعاشات همراه با مدل های تحلیلی تانگ و سیمکینز

### بررسی دامنه ارتعاشات :

درباره دامنه ارتعاشات نسبت دامنه کرنش دینامیکی به کرنش استاتیکی برحسب سرعت تعیین می شود.

در حالت زیر بحرانی نسبت کرنش دینامیکی به کرنش استاتیکی تقریباً برابر ۱ است، اما در سرعت های بالاتر و در حالت فوق بحرانی این نسبت تقریباً برابر ۲ است.

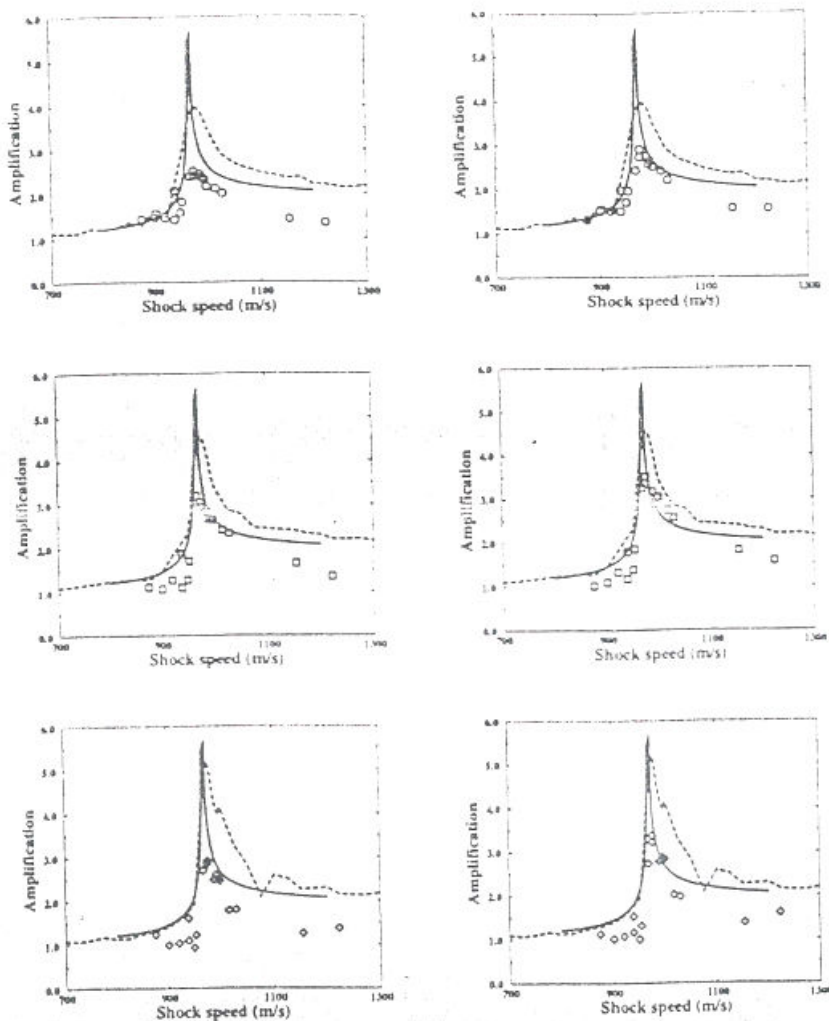
در حالتی که سرعت خیلی نزدیک یا برابر سرعت بحرانی است مدل های تحلیلی و المان محدود پاسخهایی می دهند که خیلی بیشتر از نتایج تجربی است. دلیل این امر را شاید بتوان در نظر نگرفتن هیچ گونه میرایی در حالات تحلیلی یا المان محدود دانست.

### بررسی نتایج:

در شکل بعد نتایج ضریب تقویت دینامیکی (نسبت ماکزیمم دامنه دینامیکی به حالت استاتیکی)

به روشهای مختلف ارائه شده است. مقادیر ورودی مسئله بصورت زیر هستند:

$R = 26.9 \text{ mm}$	$\rho = 2773 \text{ kg/m}^3$
$H = 1.601 \text{ mm}$	$\nu = 0.33$
$L = 889 \text{ mm}$	$E = 72 \times 10^9 \text{ N/m}^2$
$V = 999.2 \text{ m/s}$	$p_1 = 6.8, p_2 = 18.5 \text{ kPa}$



شکل ۲-۵- نتایج تجربی بالا از کرنش سنج شماره ۱ خوانده شده اندوردیف وسط از کرنش سنج شماره ۲ و نتایج ردیف آخر از کرنش سنج شماره ۳ بدست آمده است. ستون سمت چپ براساس پرش شوک اندازه گیری شده و ستون سمت راست براساس فشار اندازه گیری شده است. خطوط پرنگ پاسخ های تحلیل ریاضی، خط چین ها پاسخ های روشهای المان محدود و نقاط توخالی نتایج تجربی هستند.

## جمع بندی :

روش تحلیلی ارائه شده در این تحقیق پاسخ های نسبتاً قابل قبولی ارائه می دهد اما پاسخ ها نسبت به متغیر  $\theta$  ارائه شده و غیر تناوبی است . راه حل ارائه شده برای استفاده کاربر بسیار آسان است و به راحتی می توان از آن استفاده کرد.

## ضریب تصحیح برشی<sup>۱۱</sup> [۵]

معادلات حرکت حاکم بریک پوسته در مختصات استوانه ای و در شرایط متقاضی محوری<sup>۱۲</sup> به شکل زیر است :

$$(\lambda + 2\mu) \frac{\partial \Delta}{\partial z} + 2\mu \frac{\partial \omega_\theta}{\partial x} = \rho \frac{\partial^2 u_z}{\partial t^2} \quad (86-2)$$

$$(\lambda + 2\mu) \frac{\partial \Delta}{\partial x} - \frac{2\mu}{z} \frac{\partial(z\omega_\theta)}{\partial z} = \rho \frac{\partial^2 u_x}{\partial t^2} \quad (87-2)$$

که  $u_z$  جابجایی در جهت شعاعی و  $u_x$  جابجایی در جهت محوری است. همچنین  $\Delta$  انبساط و  $\omega_\theta$  چرخش است وبصورت زیر تعریف می شود:

$$\Delta = \frac{1}{z} \frac{\partial(zu_z)}{\partial z} + \frac{\partial u_x}{\partial x} \quad (88-2)$$

$$\omega_\theta = \frac{1}{2} \left( \frac{\partial u_z}{\partial x} - \frac{\partial u_x}{\partial z} \right) \quad (89-2)$$

برای سطوح عاری از تنفس های سطحی<sup>۱۳</sup> در  $z=a, z=b$  می توان نوشت :

$$\lambda \Delta + 2\mu \frac{\partial u_z}{\partial z} = 0 \quad (90-2)$$

$$\underline{\mu \left( \frac{\partial u_z}{\partial x} + \frac{\partial u_x}{\partial z} \right) = 0}$$

<sup>۱۱</sup>-SHEAR CORRECTION FACTOR

<sup>۱۲</sup>-AXISYMMETRIC

<sup>۱۳</sup>-TRACTION

(۹۱-۲)

تلفیق معادلات حرکت و شرایط مرزی به معادله مشخصه زیر می انجامد:

$$f(K) = K_{10}(\beta)K_{01}(\gamma) + K_{01}(\beta)K_{10}(\gamma) + \frac{8}{\pi^2 \beta \gamma ab} + FK_{11}(\gamma)K_{00}(\beta) + \frac{1}{F}K_{11}(\beta)K_{00}(\gamma) \\ + \frac{(1+\bar{B})^2}{F\gamma^2 ab}K_{11}(\beta)K_{11}(\gamma) - \frac{1+\bar{B}}{\gamma ab}[aK_{11}(\gamma)K_{10}(\beta) + bK_{11}(\gamma)K_{01}(\beta)] - \frac{1+\bar{B}}{F\gamma ab}[aK_{11}(\beta)K_{10}(\gamma) \\ + bK_{11}(\beta)K_{01}(\gamma)] = 0$$

(۹۲-۲)

که در آن:

$$K_{mn} = J_m(zb)Y_n(za) - J_n(za)Y_m(zb) \quad \beta^2 = \alpha^2 \left( \frac{c^2}{c_c^2} - 1 \right) \\ \gamma^2 = \alpha^2 \left( \frac{c^2}{c_s^2} - 1 \right) \quad \bar{B} = \frac{c}{2c_s^2} - 1 \quad (93-2) \\ F = \frac{\alpha^2 \bar{B}^2}{\beta \gamma} \quad c_c^2 = \frac{(\lambda + 2\mu)}{\rho} \\ c_s^2 = \frac{\mu}{\rho}$$

که در آنها  $\alpha$  شماره موج  $J, Y$  توابع بدل<sup>۱۴</sup> سرعت فاز و  $L$  طول موج،  $h$  ضخامت پوسته و  $c_s$  سرعت

موج برشی و  $c_c$  سرعت موج طولی هستند. با فرض اینکه:

$$\delta = \frac{h}{L}, s = \frac{c}{c_s} \quad (94-2)$$

برای طول موجهای خیلی کوچک  $\delta \rightarrow \infty$  ریشه معادله زیر برابر سرعت حد<sup>۱۵</sup> است [۲۱]:

$$(n^2 - s^2)(1 - s^2) = n \left( \frac{s^2}{2} - 1 \right)^2 \quad 0 < s < 1 \quad (95-2)$$

<sup>۱۴</sup>-BESSEL FUNCTION  
<sup>۱۵</sup>-LIMITING VELOCITY

که در آن :

$$n^2 = 2(1-\nu)(1-2\nu) \quad (96-2)$$

معادلات حرکت برای پوسته استوانه ای جدارنازک بصورت زیر هستند [۲۱] :

$$\left[ D \frac{\partial^2}{\partial x^2} - \kappa^2 G h - \rho I \frac{\partial^2}{\partial t^2} \right] \psi_x - \left[ \kappa^2 G h \frac{\partial}{\partial x} \right] w + \left[ \frac{D}{R} \frac{\partial^2}{\partial x^2} - \frac{\rho I}{R} \frac{\partial^2}{\partial t^2} \right] u = 0 \quad (97-2)$$

$$- \left[ \kappa^2 G h \frac{\partial}{\partial x} \right] \psi_x + \left[ \frac{E_p}{R^2} + \frac{D}{R^4} - \kappa^2 G h \frac{\partial^2}{\partial x^2} + \rho h \frac{\partial^2}{\partial t^2} \right] w + \left[ E_p \frac{\nu}{R} \frac{\partial}{\partial x} \right] u = 0 \quad (98-2)$$

$$\left[ \frac{D}{R} \frac{\partial^2}{\partial x^2} - \frac{\rho I}{R} \frac{\partial^2}{\partial t^2} \right] \psi_x + \left[ E_p \frac{\nu}{R} \frac{\partial}{\partial x} \right] w + \left[ E_p \frac{\partial^2}{\partial x^2} - \rho h \frac{\partial^2}{\partial t^2} \right] u = 0 \quad (99-2)$$

$$I = \frac{h^3}{12} \quad E_p = \frac{Eh}{1-\nu^2} \quad \text{که در آن :}$$

با حذف تغییر شکل های برشی باید  $\psi_x = -w'$  با جایگذاری آن :

$$\left[ D \frac{\partial^4}{\partial x^4} + \frac{D}{R^4} + \frac{E_p}{R^2} + \rho h \frac{\partial^2}{\partial t^2} - \rho I \frac{\partial^4}{\partial x^2 \partial t^2} \right] w + \left[ \frac{-D}{R} \frac{\partial^3}{\partial x^3} + \frac{E_p \nu}{R} \frac{\partial}{\partial x} \frac{\rho I}{R} \frac{\partial^3}{\partial x \partial t^2} \right] u = 0$$

$$\left[ \frac{-D}{R} \frac{\partial^3}{\partial x^3} + \frac{E_p \nu}{R} \frac{\partial}{\partial x} + \frac{\rho I}{R} \frac{\partial^3}{\partial x \partial t^2} \right] w + \left[ E_p \frac{\partial^2}{\partial x^2} - \rho h \frac{\partial^2}{\partial t^2} \right] u = 0 \quad (100-2)$$

همچنین برای پوسته های نازک :

$$D/R = 0 \quad I/R = 0$$

برای حل به روش موج<sup>۱۶</sup> مقادیر زیر در معادلات حرکت جایگزین میشود:

$$\psi_x(x,t) = \Psi e^{i(\omega t - \alpha x)} \quad w(x,t) = W e^{i(\omega t - \alpha x)} \quad u(x,t) = U e^{i(\omega t - \alpha x)} \quad (101-2)$$

که در آن  $\alpha$  و  $\omega$  به ترتیب شماره موج و فرکانس هستند و با سرعت فاز  $c$  با روابط زیر مرتبط می شوند:

$$\omega = \frac{2\pi c}{L} \quad , \quad \alpha = \frac{2\pi}{L}$$

که  $L$  طول موج است. با در نظر گرفتن  $m = h/R$ ,  $N = 1/v$  در معادلات تعادل پوسته استوانه ای،

معادله مشخصه زیر حاصل می شود:

$$\begin{aligned} & \frac{1}{3} \delta^2 (2N - s^2)^2 \left[ 4\pi^2 \kappa^2 \delta^2 - 4\pi^2 s^2 \delta^2 - 2Nm^2 \left( 1 - \frac{m^2}{12} \right) \right] \left( 1 - \frac{m^2}{12} \right) + \\ & \left( 2N - s^2 \right) \left[ \frac{2N}{\pi^2} \kappa^2 m^2 \left( 1 + \frac{m^2}{12} \right) - 4\kappa^2 s^2 \delta^2 - \frac{4}{3} \nu \kappa^2 N \delta^2 m^2 - \frac{4}{3} \nu^2 N^2 \delta^2 m^2 \right] \\ & - 4 \frac{N^2 \nu^2}{\pi^2} \kappa^2 m^2 = 0 \end{aligned} \quad (102-2)$$

با حل این معادله سه ریشه برای  $s^2$  بدست میابید که کوچکترین آنها مد نظر است. برای موجها با طول

موج زیاد  $\delta \rightarrow 0$  ————— و معادله بصورت زیر است :

$$s^2 = \frac{2(1+\nu) + \frac{m^2}{6(1-\nu)}}{1 + \frac{m^2}{12}} \quad (103-2)$$

که اگر  $m$  خیلی کوچک تر از ۱ باشد :

$$s^2 = 2(1+\nu) \quad (104-2)$$

همچنین برای طول موج های کوچک  $\delta \rightarrow \infty$ :

$$(1.5-2) \quad (2N - s^2)(\kappa^2 - s^2) = 0$$

در اینجا تنها ریشه های معادله  $s^2 = \kappa^2$  مورد بررسی قرار می گیرد. با قرار دادن  $ks =$  در معادله

: ۴۴ - ۲

$$(1.6-2) \quad [ (n^2 - \kappa^2)(1 - \kappa^2) ] = n \left( \frac{1}{2} \kappa^2 - 1 \right)^2 \quad 0 < \kappa < 1$$

بنابراین  $\kappa$  وابسته به مقادیر  $n$  بوده و چون  $n$  بین ۰ تا ۱.۵ تغییر می کند بنابراین:

$$0.86 < \kappa^2 < 0.91$$

## ۲-۲ - روش تحلیل با استفاده از سری فوریه<sup>۱۷</sup>

پراوین ج. بوتا<sup>۱۸</sup> سعی نموده با استفاده از اصل دالامبر<sup>۱۹</sup> برای پوسته ها روی بستر الاستیک<sup>۲۰</sup> رفتار مخازن جدارنازک را بررسی کند . در حل انجام شده همانند روش ها ای قبل، بار گستردۀ متحرک بوده و مدل ریاضی ارائه شده برای آن تابع پله ای یا هویساید است . همچنین علاوه بر حل معمول، حلی نیز برای حالت تشدید درنظر گرفته شده است . این حل تنها برای یک نقطه خاص که نقطه تکین<sup>۲۱</sup> می باشد ارائه شده و برای سایر حالات از آن استفاده نمی شود.

### تئوری و حل معادلات[۱۹]

معادله حرکت برای یک پوسته استوانه ای بصورت زیر است :

$$\frac{\partial^2}{\partial x^2} \left( D \frac{\partial^2 w}{\partial x^2} \right) + \frac{Eh}{r^2} w + \rho h \frac{\partial^2 w}{\partial t^2} = f(x, t) \quad (1.07-2)$$

E مدول یانگ، w مقدار تغییرشکل در جهتشعاعی، h ضخامت پوسته، r شعاع مخزن، ρ چگالی ماده مخزن،  $f(x, t)$  بار اعمال شده و D صلبیت خمی<sup>۲۲</sup> نامیده شده و مقدار آن است.

معروف راستای محور استوانه و t زمان است.

<sup>۱۷</sup> -FOURIER SERIES

<sup>۱۸</sup> -PRAVIN.G.BHUTA

<sup>۱۹</sup> -D'ALEMBERT PRINCIPLE

<sup>۲۰</sup> -ELASTIC FOUNDATION

<sup>۲۱</sup> -SINGULARITY

<sup>۲۲</sup> -FLEXURAL RIGIDITY

شرایط مرزی درنظر گرفته شده برای صفحه میانی پوسته :

$$\begin{aligned} w(0,t) &= 0 \quad , \quad w(l,t) = 0 \\ \frac{\partial^2 w(0,t)}{\partial x^2} &= 0 \quad , \quad \frac{\partial^2 w(l,t)}{\partial x^2} = 0 \end{aligned} \quad (108-2)$$

و باز بصورت تابع پله ای:

$$f(x,t) = f_0 u\left[t - \frac{x}{v}\right] \quad (109-2)$$

با استفاده از سری فوریه سینوسی باز به شکل زیر درنظر گرفته می شود:

$$f(x,t) = \sum_{n=1}^{\infty} A_n(t) \sin \frac{n\pi x}{l} \quad (110-2)$$

تغییر شکل صفحه میانی نیز:

$$w(x,t) = \sum_{n=1}^{\infty} a_n(t) \sin \frac{n\pi x}{l} \quad (111-2)$$

با بسط دادن عبارت نیروبای حالتی که  $t \leq l/v$

$$f(x,t) = \sum_{n=1}^{\infty} \frac{2f_o}{n\pi} \left[ 1 - \cos \frac{n\pi vt}{l} \right] \sin \frac{n\pi x}{l} \quad (112-2)$$

و اگر  $t \geq l/v$

$$f(x,t) = \sum_{n=1}^{\infty} \frac{4f_o}{n\pi} \epsilon(n) \sin \frac{n\pi x}{l} \quad (113-2)$$

و با تعریف معادله (۱۰۷-۲) تبدیل به دو معادله می شود:

$$\frac{d^2 a_n}{dt^2} + p_n^2 a_n = \frac{1}{\rho h} \frac{2f_0}{n\pi} \left[ 1 - \cos \frac{n\pi v t}{l} \right] \quad (114-2)$$

$$t \leq \frac{l}{v} \text{ اگر}$$

$$\frac{d^2 b_n}{dt^2} + p_n^2 b_n = \frac{1}{\rho h} \frac{4f_0 \mathcal{E}(n)}{n\pi} \quad (115-2)$$

$$t \geq \frac{l}{v} \text{ اگر}$$

(n) برای n های فرد برابر ۱ و برای n های زوج برابر صفر است . با توجه به اینکه دو معادله متفاوت موجود است پس دو حل جداگانه مورد نیاز است :

حل در منطقه تحت فشار (منطقه I) :

حل عمومی به همراه حل خصوصی معادله به شکل زیر است:

$$a_n = C_1 \sin p_n t + C_2 \cos p_n t + \frac{2f_0}{\rho h n \pi p_n^2} - \frac{2f_0 \cos \left( \frac{n\pi v t}{l} \right)}{\rho h n \pi \left[ p_n^2 - \left( \frac{n\pi v}{l} \right)^2 \right]} \quad (116-2)$$

$$t \leq \frac{l}{v} \quad , \quad n \neq \frac{lp_n}{\pi v} : \text{که در آن:}$$

شرایط اولیه در منطقه I:

در حل معادله و در جواب عمومی دو ثابت  $c_1, c_2$  موجود است که با استفاده از شرایط اولیه زیر

تعیین می شود:

$$w(x,0) = \frac{\partial w(x,0)}{\partial t} = 0 \quad (117-2)$$

با اعمال این شرایط جواب بصورت زیر درمی آید:

$$a_n = \frac{2f_0}{\rho hn\pi} \left[ \frac{1}{p_n^2 - \left(\frac{n\pi v}{l}\right)^2} - \frac{1}{p_n^2} \right] \cos p_n t + \frac{2f_0}{\rho hn\pi p_n^2} - \frac{2f_0}{\rho hn\pi \left[ p_n^2 - \left(\frac{n\pi v}{l}\right)^2 \right]} \cos \frac{n\pi vt}{l} \quad (118-2)$$

$$t \leq \frac{l}{v}, n \neq \frac{lp_n}{\pi v} : \text{که در آن:}$$

## حل در منطقه II

برای حالتی که  $\frac{l}{v} \geq t$  معادله بصورت :

$$\frac{d^2 b_n}{dt^2} + p_n^2 b_n = \frac{1}{\rho h} \frac{4 f_0 \mathcal{E}(n)}{n \pi} \quad (119-2)$$

وپاسخ عمومی و خصوصی آن:

$$b_n = C_3 \sin p_n t + C_4 \cos p_n t + \frac{4 f_0 \mathcal{E}(n)}{\rho h n \pi p_n^2} \quad (120-2)$$

برای بدست آوردن ضرایب  $C_3, C_4$  شرایط مرزی زیر اعمال می گردد:

$$\begin{aligned} a_n \Big|_{t=\frac{l}{v}} &= b_n \Big|_{t=\frac{l}{v}} \\ \frac{da_n}{dt} \Big|_{t=\frac{l}{v}} &= \frac{db_n}{dt} \Big|_{t=\frac{l}{v}} \end{aligned} \quad (121-2)$$

وپس از اعمال آن ها:

$$\begin{aligned} b_n &= \frac{2 f_0}{\rho h n \pi} \left[ \frac{1}{p_n^2} - \frac{2 \mathcal{E}(n)}{p_n^2} - \frac{\cos n \pi}{p_n^2 - \left( \frac{n \pi v}{l} \right)^2} \right] \cos \left[ p_n \left( t - \frac{l}{v} \right) \right] + \\ &\quad \frac{2 f_0}{\rho h n \pi} \left[ \frac{1}{p_n^2 - \left( \frac{n \pi v}{l} \right)^2} - \frac{1}{p_n^2} \right] \cos p_n t + \frac{4 f_0 \mathcal{E}(n)}{\rho h n \pi p_n^2} \end{aligned} \quad (122-2)$$

### حالت تشدید<sup>۲۳</sup>:

اگر جواب های بدست آمده در مراحل قبل برای معادلات بررسی شود مشاهده می گردد که در صورتی

که  $p_n = \frac{n\pi v}{l}$  این جابجایی ها تعریف نشده خواهند بود. بنابراین می توان این حالت را حالت تشدید

فرض نمود. در این صورت معادلات به شکل زیر در می آیند:

$$\frac{d^2 a_n^*}{dt^2} + \left( \frac{n\pi v}{l} \right)^2 a_n^* = \frac{2f_0}{\rho hn\pi} \left[ 1 - \cos \frac{n\pi vt}{l} \right] \quad (123-2)$$

if  $t \leq l/v$

$$\frac{d^2 b_n^*}{dt^2} + \left( \frac{n\pi v}{l} \right)^2 b_n^* = \frac{4f_0 \mathcal{E}(n)}{\rho hn\pi} \quad (124-2)$$

if  $t \geq l/v$

با حل معادله اول:

$$a_n^* = C_5 \sin \frac{n\pi vt}{l} + C_6 \cos \frac{n\pi vt}{l} + \frac{2f_0}{\rho hn\pi \left( \frac{n\pi v}{l} \right)^2} - \frac{f_0 t}{\rho hn\pi \left( \frac{n\pi v}{l} \right)} \sin \frac{n\pi vt}{l} \quad (125-2)$$

$$n = \frac{lp_n}{\pi v}, \quad t \leq l/v$$

---

<sup>۲۳</sup>-RESONANT MODE

و با اعمال شرایط اولیه  $\omega = 2\pi\nu$  و بدست آوردن ثوابت :

$$a_n^* = -\frac{2f_0}{\rho h n \pi \left(\frac{n\pi\nu}{l}\right)^2} \cos \frac{n\pi\nu t}{l} + \frac{2f_0}{\rho h n \pi \left(\frac{n\pi\nu}{l}\right)^2} - \frac{f_0 t}{\rho h n \pi \left(\frac{n\pi\nu}{l}\right)} \sin \frac{n\pi\nu t}{l} \quad (126-2)$$

با حل معادله دوم نیز :

$$b_n^* = C_7 \sin \frac{n\pi\nu t}{l} + C_8 \cos \frac{n\pi\nu t}{l} + \frac{4f_0 \mathcal{E}(n)}{\rho h n \pi \left(\frac{n\pi\nu}{l}\right)^2} \quad (127-2)$$

و پس از اعمال شرایط مرزی :

$$\begin{aligned} b_n^* &= -\frac{f_0}{\rho h \left(\frac{n\pi\nu}{l}\right)^2} \sin \frac{n\pi\nu t}{l} + \frac{2f_0}{\rho h n \pi \left(\frac{n\pi\nu}{l}\right)^2} \left[ \frac{1}{\cos n\pi} (1 - 2\mathcal{E}(n)) - 1 \right] \cos \frac{n\pi\nu t}{l} \\ &+ \frac{4f_0 \mathcal{E}(n)}{\rho h n \pi \left(\frac{n\pi\nu}{l}\right)^2} \end{aligned} \quad (128-2)$$

$$n = \frac{lp_n}{\pi\nu}, \quad t \geq \frac{l}{v}$$

بنابراین حل کلی معادله بصورت زیر است:

$$\begin{aligned} w(x, t) &= \sum_{n=1}^{\infty} a_n(t) \sin \frac{n\pi x}{l} + a_n^*(t) \sin \frac{n\pi x}{l} \\ &(n \neq \frac{lp_n}{\pi\nu}), (n = \frac{lp_n}{\pi\nu}) \end{aligned} \quad (129-2)$$

$$\begin{aligned} w(x, t) &= \sum_{n=1}^{\infty} b_n(t) \sin \left( \frac{n\pi x}{l} \right) + b_n^*(t) \sin \left( \frac{n\pi x}{l} \right) \\ &(n \neq \frac{lp_n}{\pi\nu}), (n = \frac{lp_n}{\pi\nu}) \end{aligned} \quad (130-2)$$

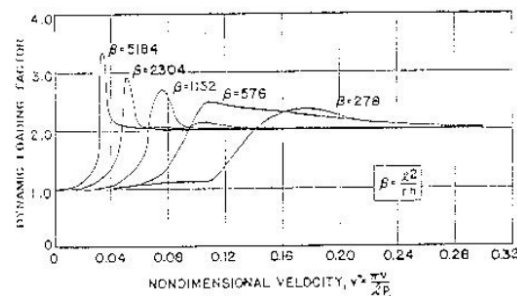
## مقایسه نسبت تغییر شکل دینامیکی به استاتیکی [۱۹] :

با توجه به اینکه پاسخ های تحلیلی در قالب سری فوریه هستند و ضرایب نیز بسته به زمان تغییر میکنند بدست آوردن حداکثر تغییر شکل در آنها تقریبا غیرممکن است بنابراین بهتر است از روش‌های عددی استفاده شود.

بررسی نتایج عددی بیانگر این مطلب است که نسبت تغییر شکل دینامیکی به استاتیکی به متغیر

$$\beta = \frac{l^2}{r h} \quad \text{پارامتر پوسته} \quad \text{و همچنین سرعت بی بعد} \quad \gamma^* = \frac{\pi v}{l p_1}$$

در شکل ۲-۵ نسبت دامنه تغییر شکل دینامیکی به استاتیکی در مقابل تغییرات سرعت بی بعد و برای مقادیر مختلف  $\beta$  رسم شده است.

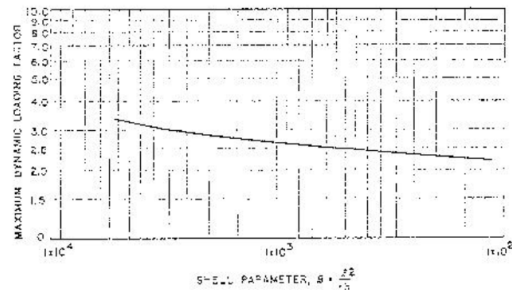


شکل ۲-۶- تغییرات نسبت دامنه دینامیکی به استاتیکی بر حسب سرعت بی بعد

---

<sup>۱۴</sup>-SHELL PARAMETER  
<sup>۱۵</sup>- NONDIMENSIONAL VELOCITY

همچنین در شکل ۶-۲ میزان تغییرات ماکزیمم نسبت تغییرشکل دینامیکی به استاتیکی بر حسب تغییرات پارامتر پوسته  $\beta$  رسم شده است.



شکل ۷-۲- تغییرات نسبت دامنه دینامیکی به استاتیکی در مقابل تغییرات  $\beta$

این دو شکل نشان می دهند که مقدار بیشینه این نسبت می تواند هر عددی بزرگتر از ۲ باشد.

## ۳-۲- تحلیل مخزن استوانه ای جدار نازک تحت بار متحرک با استفاده از روش

### انتگرال مختلط کارسون لاپلاس

مقدمه :

دراین روش سعی براین است تا راه حلی ارائه شود که برای پوسته های استوانه ای تحت بار متحرک گسترده و در حالتی که سرعت کمتر از سرعت بحرانی است قابل استفاده باشد . با توجه به دققی که معادله دالامبر دراین محدوده دارد ، می توان مبنای مسئله را بر اساس آن انتخاب نمود. برای حل مسئله از روش انتگرال مختلط کارسون - لاپلاس<sup>۱</sup> استفاده می شود. با استفاده از این تبدیل با کوتاهترین زمان و راه حل ممکن ، میتوان به جواب رسید و از محاسبات وقت گیر و پیچیده جلوگیری کرد. علاوه براین درانتها یک فرمول نهایی بصورت یک سری ارائه می شود که با رعایت آنچه در مورد سرعت و ضخامت مخزن گفته شد در مسائل مختلف قابل استفاده است.

تئوری مسئله:

همان گونه که گفته شد برای شروع از اصل دالامبر استفاده می شود که معادله(۲-۷۰) است  
بارگذاری با استفاده از تابع پله ای و بصورت رابطه ۱-۳ است که در حالت  $x-vt < 0$  به شکل  
و در حالت  $x-vt > 0$  بصورت  $P = P_0$  خواهد بود.

حل در منطقه I یا منطقه تحت فشار:

بادرنظر گرفتن بارگذاری تعریف شده معادله بصورت زیر خواهد بود:

---

<sup>۱</sup>-LAPLACE-CARSON

$$\frac{\partial^2}{\partial x^2} \left( D \frac{\partial^2 w}{\partial x^2} \right) + \frac{Eh}{r^2} w + \rho h \frac{\partial^2 w}{\partial t^2} = f(x, t) \quad (131-2)$$

برای حل از سری فوریه سینوسی استفاده می شود زیرا با توجه به شرایط مرزی و اینکه در طول صفر مقدار تغییرشکل صفر است از تبدیل سینوسی استفاده می شود [۲۸]

$$w^* = \int_0^l w \sin \frac{j\pi x}{l} dx \quad (132-2)$$

$$w = \frac{2}{l} \sum_{j=1}^{\infty} w^* \sin \frac{j\pi x}{l}$$

با اعمال تبدیل فوریه سینوسی در دو طرف معادله :

$$D \left( \frac{j\pi}{l} \right)^2 w^*(j, t) + \frac{Eh}{r^2} w^*(j, t) + \rho h \ddot{w}^*(j, t) = \frac{f_x l}{j\pi} [1 - (-1)^j] \quad (133-2)$$

حال تبدیل کارسون - لاپلاس که معروف به تبدیل انتگرال مختلط است و بصورت زیر تعریف می شود مورد استفاده قرار می گیرد [۲۸]:

$$V^*(j, p) = \int_0^\infty p V(j, t) e^{-pt} dt \quad (134-2)$$

و تبدیل معکوس آن:

$$V(j, t) = \frac{1}{2\pi i} \int_{a_0-i\infty}^{a_0+i\infty} e^{pt} \frac{V^*(j, p)}{p} dp \quad (135-2)$$

برای شروع ابتدادر طرفین معادله تبدیل فوریه سینوسی را اعمال نموده و پس از آن طرفین در عبارت

$$pe^{-pt} \text{ ضرب می شود. حاصل بصورت زیر خواهد بود:}$$

$$D\left(\frac{j\pi}{l}\right)^4 pe^{-pt} w^*(j,t) + \frac{Eh}{r^2} pe^{-pt} w^*(j,t) + \rho h p e^{-pt} \ddot{w}(j,t) = \frac{pf_x l p e^{-pt}}{j\pi} [1 - (-1)^j]$$

(۱۳۶-۲)

حال با اعمال تبدیل کارسون - لاپلاس در طرفین معادله:

$$D\left(\frac{j\pi}{l}\right)^4 V^*(j,p) + \frac{Eh}{r^2} V^*(j,p) + \rho h p^2 V^*(j,p) = \frac{f_x l}{j\pi} [1 - (-1)^j] \quad (137-2)$$

با فاکتورگیری از عامل مشترک  $(j,p)$  و باز نویسی عبارت:

$$V^*(j,p) = \frac{\frac{f_x l}{j\pi} [1 - (-1)^j]}{D\left(\frac{j\pi}{l}\right)^4 + \frac{Eh}{r^2} + \rho h p^2} \quad (138-2)$$

که آن را می توان بصورت زیر نیز نوشت:

$$V^*(j,p) = \frac{\frac{f_x l}{j\pi\rho h} [1 - (-1)^j]}{\frac{D}{\rho h} \left(\frac{j\pi}{l}\right)^4 + \frac{Eh}{r^2 \rho h} + p^2} \quad (139-2)$$

باعمال تبدیل معکوس کارسون-لاپلاس:

$$w = \sum_{j=1}^{\infty} \frac{f_x l}{j\pi\rho h} \left[ 1 - (-1)^j \right] \frac{1}{\frac{E}{r^2\rho} + \frac{D}{\rho h} \left( \frac{j\pi}{l} \right)^4} \left[ 1 - \cos \sqrt{\frac{E}{r^2\rho} + \frac{D}{\rho h} \left( \frac{j\pi}{l} \right)^4} \times t \right] \sin \left( \frac{j\pi x}{l} \right)$$

(۱۴۰-۲)

انتخاب تعداد جملات سری :

با رجوع به مخرج کسر یعنی عبارت  $\left[ \frac{E}{r^2 \rho} + \frac{D}{\rho h} \left( \frac{j\pi}{l} \right)^4 \right] j\pi\rho h$  مشخص می شود که با توجه به

وجود توان  $4$  در عبارت  $\frac{D}{\rho h} \left( \frac{j\pi}{l} \right)^4$  این عبارت دارای رشد بسیار بیشتری در مقایسه با

$j\pi\rho h$  میباشد و با افزایش مقدار  $j$  در سری ، مخرج کسر را به شدت افزایش میدهد .

حال با توجه به آنچه گفته شد ، در صورتی که تعداد  $100$  جمله در نظر گرفته شود رشد مخرج کسر به اندازه  $10^{10}$  خواهد بود. به همین دلیل جملات پس از  $100$  جمله بسیار کوچک خواهند بود و قابل صرف نظر کردن هستند.

حل در منطقه II یا منطقه ای که موج فشار به آن نرسیده است:

در این حالت نیز معادله دالamber را می توان صادق دانست (معادله ۲-۱۳۱) با این تفاوت که عبارت  $f(x,t)$  برابر صفر خواهد بود.

در این حالت معادله فاقد جواب خصوصی بوده و تنها دارای جواب عمومی است. این جواب عمومی به صورت زیر است:

$$w^{II} = C_1 \sin pt + C_2 \cos pt \quad (141-2)$$

که در آن  $p = \sqrt{\frac{E}{r^2 \rho} + \frac{D}{\rho h} \left( \frac{j\pi}{l} \right)^4}$  می باشد.

شرایط پیوستگی زیر باید در مرز جدایی منطقه I از منطقه II صادق باشد :

$$w^I(x, t = \frac{l}{v}) = w^{II}(x, t = \frac{l}{v}) \quad (142-2)$$

$$\frac{\partial [w^I(x, t = \frac{l}{v})]}{\partial t} = \frac{\partial [w^{II}(x, t = \frac{l}{v})]}{\partial t}$$

که با اعمال این شرایط مرزی پاسخ های زیر بدست می آید :

$$C_1 = \frac{f_x l \left[ -1 + (-1)^j \right] \left\{ -\cos\left(\frac{pl}{v}\right) + \cos\left(\frac{pl}{v}\right)^2 + \sin\left(\frac{pl}{v}\right)^2 \right\}}{\left[ \cos\left(\frac{pl}{v}\right)^2 + \sin\left(\frac{pl}{v}\right)^2 \right] p^2 j \pi \rho h} \quad (143-2)$$

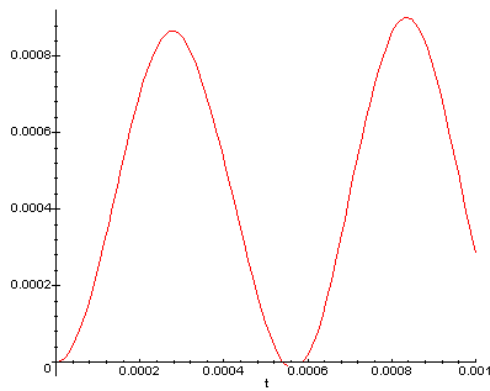
$$C_2 = \frac{f_x l \left[ -1 + (-1)^j \right] \sin\left(\frac{pl}{v}\right)}{\left[ \cos\left(\frac{pl}{v}\right)^2 + \sin\left(\frac{pl}{v}\right)^2 \right] p^2 j \pi \rho h}$$

حل نمونه :

نمودار تغییر شکل شعاعی مخزن تحت بار متحرک در شکل زیر و در فاصله ۱۰۰۰ ثانیه پس از رسیدن

موج فشار به محدوده  $x = 20in$  مشاهده میشود.

$$h = 0.5, V = 72000in/sec, l = 72in, \nu = 0.3, r = 18, E = 30 \times 10^6, f_x = 20, \rho = 7.332 \times 10^{-4}$$



شکل ۸-۲- نمودار حاصل از روش سری و انتگرال مختلف  
محور افقی زمان و محور عمودی جابجایی شعاعی است

## فصل سوم

تحلیل عددی پوسته نازک تحت

بار متحرک

### ۱-۳- تحلیل عددی پوسته های نازک تحت بار متحرک با روش گالرکین

اگر چه روش های ریاضی همواره مهمترین مراجع در حل مسائل هستند اما روش های عددی امروزه همپای روش های ریاضی گسترش یافته و اهمیتی ویژه دارد . اهمیت این روش ها بویژه در مواردی که حل ریاضی بدلایل خاص امکان پذیر نیست بیشتر است.

در این بخش معادله دیفرانسیل حاکم بر پوسته استوانه ای (معادله دالمبر) با استفاده از روش گالرکین حل خواهد شد .

روش حل:

معادله حاکم بر مسئله ، معادله (۱۰۷-۲) است. مطابق آنچه در حل دینامیکی مسائل مرسوم است پاسخ مسئله بصورت زیر تقریب زده می شود:

$$w = \sum a_j(t) \phi_j(x) \quad (1-3)$$

که در آن مقادیرتابع وزنی همان مقادیر توابع هرمیتی بادوگره که در مورد تیرها موجود است انتخاب میشود وبصورت زیر هستند [۲۴] :

$$\begin{aligned} \phi_1 &= \frac{1}{4} \left( 2 - 3\xi + \xi^3 \right) \\ \phi_2 &= \frac{1}{4} \left( 1 - \xi - \xi^2 + \xi^3 \right) \\ \phi_3 &= \frac{1}{4} \left( 2 + 3\xi - \xi^3 \right) \\ \phi_4 &= \frac{1}{4} \left( -1 - \xi + \xi^2 + \xi^3 \right) \end{aligned} \quad (2-3)$$

ابتدا با استفاده از روش گالرکین باقیمانده فرمول (۲-۷۰) مشخص میشود:

$$\int \left( D \frac{\partial^4 w}{\partial x^4} + \frac{Eh}{r^2} w \right) \phi_i dx + \int \rho h \phi_i \frac{\partial^2 w}{\partial t^2} + \int f \phi_i dx = 0 \quad (3-3)$$

که می توان آنرا به صورت زیر نوشت:

$$\int D \frac{\partial^4 w}{\partial x^4} \phi_i dx + \int \frac{Ehw}{r^2} \phi_i dx + \int \rho h \phi_i \frac{\partial^2 w}{\partial t^2} + \int f \phi_i dx = 0 \quad (4-3)$$

که در آن:

$$\begin{aligned} \frac{\partial^4 w}{\partial x^4} \phi_i &= \frac{\partial}{\partial x} \left( \frac{\partial^3 w}{\partial x^3} \phi_i \right) - \frac{\partial^3 w}{\partial x^3} \frac{\partial \phi_i}{\partial x} \\ &= \frac{\partial}{\partial x} \left( \frac{\partial^3 w}{\partial x^3} \phi_i \right) - \frac{\partial}{\partial x} \left( \frac{\partial^2 w}{\partial x^2} \phi_i' \right) + \frac{\partial^2 w}{\partial x^2} \frac{\partial^2 \phi_i}{\partial x^2} \\ &= \frac{\partial}{\partial x} \left( \frac{\partial^3 w}{\partial x^3} \phi_i \right) - \frac{\partial}{\partial x} \left( \frac{\partial^2 w}{\partial x^2} \phi_i' \right) + \frac{\partial}{\partial x} \left( \frac{\partial w}{\partial x} \frac{\partial^2 \phi_i}{\partial x^2} \right) - \frac{\partial w}{\partial x} \frac{\partial^3 \phi_i}{\partial x^3} \\ &= \frac{\partial}{\partial x} \left( \frac{\partial^3 w}{\partial x^3} \phi_i \right) - \frac{\partial}{\partial x} \left( \frac{\partial^2 w}{\partial x^2} \phi_i' \right) + \frac{\partial}{\partial x} \left( \frac{\partial w}{\partial x} \frac{\partial^2 \phi_i}{\partial x^2} \right) - \frac{\partial}{\partial x} \left( w \frac{\partial^3 \phi_i}{\partial x^3} \right) + w \frac{\partial^4 \phi_i}{\partial x^4} \end{aligned} \quad (5-3)$$

بنابراین:

$$\begin{aligned} \int D \frac{\partial^4 w}{\partial x^4} \phi_i dx &= D \left[ \left( \frac{\partial^3 w}{\partial x^3} \phi_i \right) - \left( \frac{\partial^2 w}{\partial x^2} \phi_i' \right) + \left( \frac{\partial w}{\partial x} \frac{\partial^2 \phi_i}{\partial x^2} \right) - \left( w \frac{\partial^3 \phi_i}{\partial x^3} \right) \right]_l \\ &+ \int D w \frac{\partial^4 \phi_i}{\partial x^4} dx \end{aligned} \quad (6-3)$$

با توجه به شرایط مرزی باقیمانده بصورت زیر درمی آید :

$$\int Dw \frac{\partial^4 \phi_i}{\partial x^4} dx + \frac{Eh}{r^2} \int w \phi_i dx + \rho h \int \phi_i \frac{\partial^2 w}{\partial t^2} + \int f \phi_i dx = 0 \quad (7-3)$$

برای درک بهتر مسئله اگر باقیمانده بصورت  $m \ddot{x} + kx = F$  در نظر گرفته شود با استفاده از رابطه ۱-۳ :

$$\begin{aligned} m_{ij} &= \int \rho h \phi_j(x) \phi_i(x) dx \\ k_{ij} &= \int \left[ D \frac{\partial^4 \phi_j(x)}{\partial x^4} \phi_i(x) + \frac{Eh}{r^2} \phi_j(x) \phi_i(x) \right] dx \\ F_{ij} &= - \int f(x, t) \phi_i dx \end{aligned} \quad (8-3)$$

با استفاده از تفاضل مرکزی [۲۲] :

$$\frac{\partial^2 a}{\partial t^2} = \frac{a_{j+1} - 2a_j + a_{j-1}}{\Delta t^2} \quad (9-3)$$

که اندازه فاصله ای است که تقسیمات براساس آن انجام شده،  $a_j$  مقدارتابع در همان نقطه ای است که مشتق آن مدنظر است،  $a_{j+1}$  مقدارتابع در یک فاصله  $\Delta t$  جلوتر و  $a_{j-1}$  مقدارتابع در یک  $\Delta t$  عقب است.

دلیل ترجیح تفاضل مرکزی بر تفاضلات پیشرو و پسروندقت بالاتر آن است. زیرا در حالات پیشرو و پسروخطا  $e = o(\Delta t)$  است در حالیکه در صورت استفاده از تفاضل مرکزی خطأ  $e = o(\Delta t^2)$  خواهدبود:

$$a_{-1} = a_0 - \Delta t \dot{a}_0 + \frac{\Delta t^2}{2} \ddot{a}_0 \quad (10-3)$$

یک نکته مهم تعیین گام زمانی است که درواقع تقسیماتی است که بروی دوره تناوب مسئله صورت میگیرد تا پاسخ های صحیح وپایدار بدست بیاید. در واقع برای هر مسئله یک  $\Delta t_{cr}$  وجوددارد که تحت هر شرایطی باید گام زمانی از  $\Delta t_{cr}$  کوچکتر باشد . برای تعیین گام زمانی محققین مختلف پیشنهادهای متفاوتی دارند که برای مثال صدرنژاد [۲۴] مقدار  $\frac{T}{\pi}$  را پیشنهاد می کند که  $T$  زمان یک ارتعاش یا همان دوره تناوب نوسان است اما بهتر است که حتی الامکان گام زمانی کوچکتر درنظر گرفته شود. درصورتی که مقدار گام زمانی بزرگتر از  $\Delta t_{cr}$  باشد پاسخ ها پایدار نبوده وبا تغییرات در تعداد المان ها ومش بندی مسئله پاسخ ها متفاوت خواهند بود وبه یک مقدار همگرا نخواهند بود.

با جاگذاری مقادیر مذکور در عبارت باقیمانده (۷-۳) و مرتب کردن آن ها :

$$\int \frac{\rho h}{\Delta t^2} \phi_i(x) \phi_j(x) a_{j+1}(t) dx = \int \left[ -D \frac{\partial^4 \phi_i(x)}{\partial x^4} \phi_j(x) - \frac{Eh}{r^2} \phi_i(x) \phi_j(x) + \frac{2\rho h}{\Lambda t^2} \phi_i(x) \phi_j(x) \right] a_j(t) dx \\ - \int \frac{\rho h}{\Delta t^2} \phi_i(x) \phi_j(x) a_{j-1}(t) dx + \int P [1 - H(x - vt)] \\ (11-3)$$

همان گونه که مشخص است اعمال تغییرات ذکر شده معادله را از شکل  $m \ddot{x} + kx = F$  ساده کرده و به شکل  $ka = F$  در خواهد آورد.

با توجه به آنچه گفته شد عبارات به شکل زیر تغییر می یابند :

$$k = \int \rho h \phi_i \phi_j dx \\ (12-3)$$

بردار نیرو نیز به صورت زیر است :

$$\begin{aligned} & \int \left[ -D \frac{\partial^4 \phi_i(x)}{\partial x^4} \phi_j(x) \Delta t^2 - \frac{Eh}{r^2} \phi_i(x) \phi_j(x) \Delta t^2 + 2\rho h \phi_i(x) \phi_j(x) \right] a_j(t) dx \\ & - \int \rho h \phi_i(x) \phi_j(x) a_{j-1}(t) dx + \int P [1 - H(x - vt)] \Delta t^2 \phi_i(x) dx \end{aligned} \quad (13-3)$$

به این ترتیب مسئله دینامیکی را میتوان مشابه حالات استاتیکی حل نمود . با توجه به راه حل مذبور کد هایی با نرم افزار متلب<sup>۳</sup> نوشته شده اند که توضیحات آن درادامه ارائه می شود..

## توضیحاتی درمورد برنامه ها:

۱- ابتدا باید مقادیر ورودی های مسئله مشخص شود. ورودی های برنامه عبارتند از:

مشخصات هندسی شامل : شعاع ، طول ، ضخامت

مشخصات جنس شامل : چگالی ، ضریب پواسون ، مدول یانگ

مشخصات بارگذاری : دامنه بار ، سرعت بار

درایین قسمت ورودی های مسئله پایان یافته و مرحله محاسبات آغاز می شود.

۲- صلبیت خمی مشخص می شود

. ۳- گام زمانی مسئله مشخص می شود (deltaT)

. ۴- درجه آزادی کل المان ها معین می شود n1

۵- مقدار طول یک المان مشخص می شود le

۶- مقادیر مربوط به توابع شکل مشخص می شود ( $\phi_1, \phi_2, \phi_3, \phi_4$ )

۷- درایین مرحله ماتریس سختی یک المان مشخص می شود. (k1)

برای i از ۱ تا ۴

برای j از ۱ تا ۴

$$k1(i, j) = -\rho h \int_0^{l_e} \phi_i \phi_j dx_0$$

۸- ماتریس K با مولفه های صفر وابعاد n1 در n1 تشکیل می شود.

در مراحل بعدی ماتریس سختی با نام  $K$  مونتاژمی شود.

-۹

برای  $i$  از ۱ تا ۴

برای  $j$  از ۱ تا ۴

$$K(i, j) = k1(i, j)$$

۱۰- دو عضو انتهایی قطر اصلی و دو عضو مجاور عضو انتهایی تشکیل می شود:

$$K(n1, n1) = k1(4,4)$$

$$K(n1 - 1, n1) = k1(3,4)$$

$$K(n1, n1 - 1) = k1(4,3)$$

$$K(n1 - 1, n1 - 1) = k1(3,3)$$

عناصر روی قطر اصلی و عناصر بادو فاصله سطربی و دو فاصله ستوانی از قطر اصلی تشکیل می شود.

برای  $i$  از ۳ تا  $n1 - 2$

$$K(i, i) = (-1)^i \frac{[k1(4,4) + k1(2,2)]}{2} + \frac{k1(4,4) + k1(2,2)}{2} + (-1)^{i+1} \left[ \frac{k1(3,3) + K(1,1)}{2} \right] + \\ \left[ \frac{k1(3,3) + k1(1,1)}{2} \right]$$

$$K(i, i + 2) = (-1)^{i+1} \frac{k1(1,3)}{2} + \frac{1}{2} k1(1,3) + (-1)^i \frac{k1(2,4)}{2} + \frac{k1(2,4)}{2}$$

عناصر روی خطوط موازی قطر اصلی تشکیل می شود:

۱۱- برای  $i$  از ۳ تا  $n1 - 2$  با پرش ۲

$$K(i+1,i) = k1(4,3) + k1(2,1)$$

$$K(i+2,i+1) = k1(3,2)$$

$$K(i,i+1) = k1(3,4) + k1(1,2)$$

$$K(i+1,i+2) = k1(2,3)$$

برای  $i$  از ۱ تا  $n1-3$

$$K(i,i+3) = (-1)^{i+1} \frac{k1(1,4)}{2} + \frac{k1(1,4)}{2}$$

$$K(i+3,i) = (-1)^{i+1} \frac{k1(4,1)}{2} + \frac{k1(4,1)}{2}$$

مونتاژ ماتریس سختی پایان یافته و باید بردار نیرو تشکیل شود. بردارنیرو به سه بخش تقسیم می شود. ابتدا دو ماتریس برای نیرو تعریف شده و سپس مراحلی طی می شود تا آن دو ماتریس به بردار تبدیل شده و با بخش سوم تشکیل بردارنیرو دهد.

-۱۲

برای  $i$  از ۱ تا ۴

برای  $j$  از ۱ تا ۴

$$f1(i,j) = \int_0^{le} (\delta T)^2 d \frac{\partial^4 \phi(j)}{\partial x^4} \phi(i) dx_0 + \int_0^{le} (\delta T)^2 \frac{Eh}{r^2} \phi(i) \phi(j) dx_0 - 2 \int_0^{le} \rho h \phi(i) \phi(j) dx_0$$

$$f2(i,j) = \int_0^{le} \rho h \phi(i) \phi(j) dx_0$$

ماتریس صفر بالبعد  $n1$  در  $1, F11, F22$  تعریف می شود. در مراحل بعدی استفاده از همان الگوریتم مطرح شده برای مونتاژ ماتریس  $K$ ، ماتریس های  $F11, F22$  نیز با استفاده از ماتریس نیروی  $f1, f2$  که برای یک المان تعریف شده اند مونتاژ خواهند شد

پس از مونتاژ ماتریس های  $F11, F22$  شرایط اولیه مسئله وارد می شود که شامل :

$$W_0 = \dot{W}_0 = \ddot{W}_0 = 0$$

$$a_{-1} = a_0 - \Delta t a_0 + \frac{\Delta t^2}{2} \ddot{a}$$

می باشند.

۱۳- همان گونه که پیش ازین گفته شد بردار نیرو به سه بخش تقسیم می شوند که دو بخش آن قبل مونتاژ شد و حال بخش سوم آرایه ای است که بانام  $he$  مشخص می شود.

۱۴- در مرحله بعد آرایه  $pe$  بانام  $he$  مونتاژ می شود به این ترتیب که ابتدا دو عنصر اول و دو عنصر انتهایی آرایه  $pe$  معین می شود.

$$pe(1) = he(1)$$

$$pe(2) = he(2)$$

$$pe(n1) = he(4)$$

$$pe(n1-1) = he(3)$$

۱۵- سایر اعضای آرایه  $pe$  متناظر با یک در میان تکرار می شوند.

برای  $ip$  از ۳ تا  $n1-2$  با گام ۲

$$pe(ip) = he(3) + he(1)$$

$$pe(ip+1) = he(4) + he(2)$$

آرایه  $pe1$  با حذف اعضای متناظر با تکیه گاه ها تشکیل می شود. در ماتریس های سختی  $K, F11, F22$

نیز ۴ سطر وستون با توجه به تکیه گاه ها حذف می شود.

آرایه های  $s1, s2$  تشکیل می شود.

در انتها بردار نیروی کل با ضرب  $s1, s2$  در  $F11, F22$  و تفاضل آن با  $pe1$  بدست می آید که نام آن  $s3$  است.

با حل دستگاه معادلات خطی  $K$  و  $s3$  و ضرب پاسخ های بدست آمده در توابع هرمیتی جواب نهایی بدست می آید .

$$s1 = [c(1), d(1), e(1), f(1), h(1), i(1)]$$
$$s2 = [c(2), d(2), e(2), f(2), h(2), i(2)]$$

برای pt از ۱ تا  $\frac{l2}{ve} \times deltaT$

$$s3 = F22 \times s2 + F11 \times s1 - pe1$$

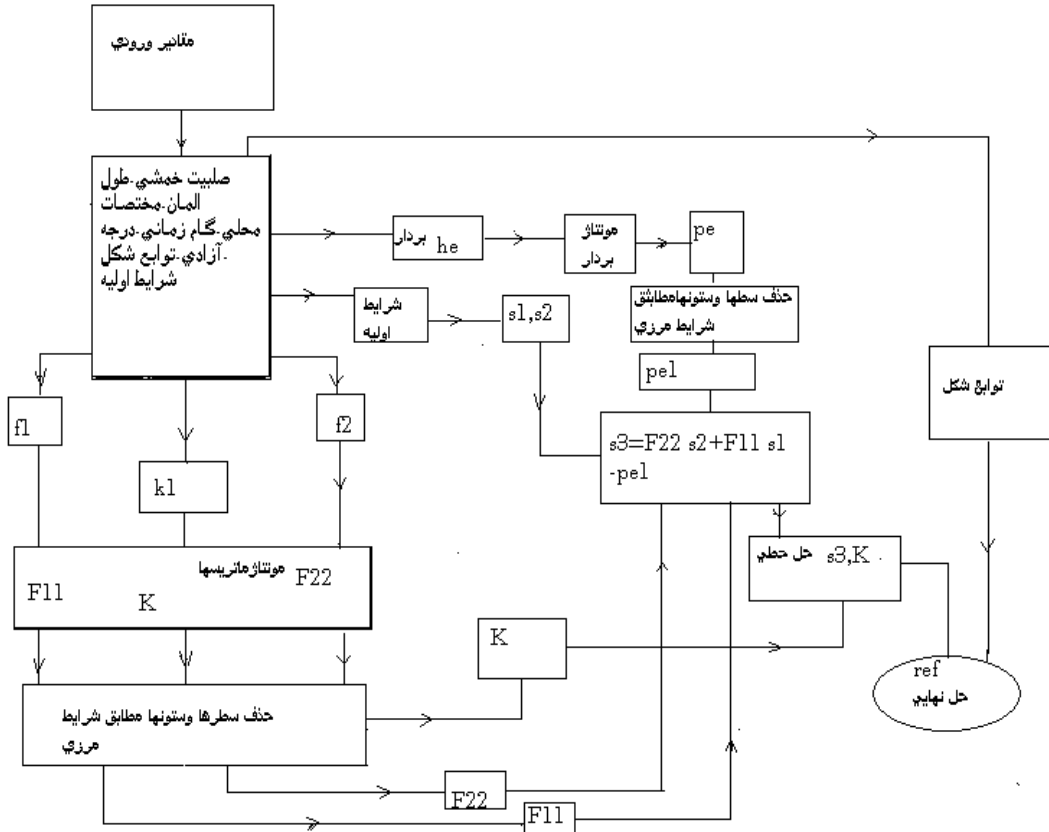
$$sig = linearSolve(K, s3)$$

$$ref = sig(1) \times \phi(3) + sig(2) \times \phi(4) + sig(3) \times \phi(1) + sig(4) \times \phi(2) \\ + sig(5) \times \phi(3) + sig(6) \times \phi(4)$$

$$s1 = s2$$

$$s2 = sig$$

درشکل ۱-۳ نمودار فلوچارت برنامه ارائه شده است:



شکل ۱-۳- فلوچارت حل عددی مخزن استوانه ای تحت بار متحرک

## ۲-۳- روش تحلیل پوسته های نازک تحت بار متحرک به کمک نرم افزار

بدون شک استفاده از روش‌های المان محدود امروزه بسیار گسترده‌تر از قبل است که مهمترین دلیل آن ظهور کامپیوترها است که توانایی انجام محاسبات طولانی و با حجم زیاد را در اختیار محققان قرار می‌دهند. در حال حاضر علاوه بر نرم افزارهای ریاضی موجود که امکان نوشتگری برای انجام محاسبات تکراری با مقادیرورودی‌های مختلف را فراهم می‌آورند نرم افزارهایی مختص روش‌های المان محدود نیز موجود است.

از انواع ارزان قیمت این نرم افزارها همانند Algor، Adina، کارآمدتروگرانتر همانند Nastran و... این امکان را فراهم می‌آورند تا مهندسان بر احتی از نتایج المان محدود Abaqus و Ansys بهره مند شوند.

معرفی کلی نرم افزار [۲۴,۲۳] :

آباکوس یک نرم افزار تجاری در حل مسائل المان محدود است که توسط شرکت Simulia که زیر مجموعه شرکت Dassault systems است طراحی شده است. آباکوس دارای سه هسته اصلی است. Abaqus/Standard یک تحلیلگر چند منظوره و برای مسائل استاتیکی و سایر مسائل مشابه بکار می‌رود. Abaqus/Explicit برای حل مسائل المان محدود دینامیکی گذرا و بویژه غیر خطی و همچنین مسائل شبه استاتیکی بکار می‌رود.

(post processing) ونمایش خروجی ها (processing) شامل محیط های طراحی (Abaqus/cae میباشد.

آباکوس قابلیت تحلیل مسائل در سازه های آکوستیک<sup>۳</sup>، پیزو الکتریک، مسائل دمایی و... را دارد، اما مهمترین برتری این نرم افزار در محیط های غیرخطی و مواد الاستومریک<sup>۴</sup> (لاستیکی شکل) است. همچنین توان محاسباتی بالای نرم افزار اجازه می دهد تا بتوان از المان های مختلف و با تعداد نسبتاً زیاد استفاده نمود.

#### صورت مسئله:

در این بخش مخزن استوانه ای جدارنازک تحت بار متحرک با استفاده از نرم افزار مورد بررسی قرار خواهد گرفت.

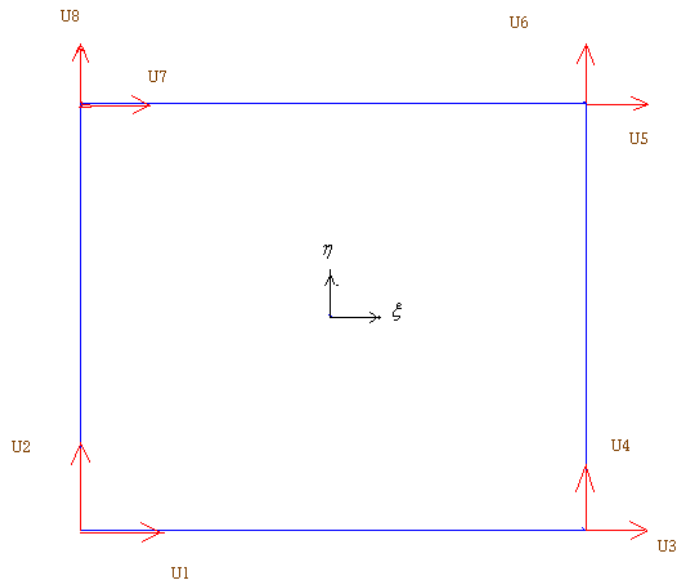
جزیيات روش تحلیل با آباکوس درضمیمه آورده شده است.

#### انتخاب المان:

برای مدل نمودن مسئله از تقارن محوری استفاده می شود که بدلیل تقارن هندسه و بار گذاری مسئله است. یکی از متداولترین نوع المان ها جزء چهار ضلعی است که در مقایسه با المان مثلثی دارای دقت بهتری است. در این المان هرگره دارای دو درجه آزادی است و انواع بارهای مرکز و گسترده و فشاری یا کششی را میتوان به این المان اعمال نمود. همچنین مش حاصل از المان چهارضلعی دارای هندسه بهتر و منظم تری است. در شکل ۲-۳ المان چهار ضلعی مشاهده میشود:

---

<sup>۳</sup>-ACOUSTIC  
<sup>۴</sup>-ELASTOMERIC



شکل ۳-۲- المان چهارضلعی با چهارگره

مش بندی:

در مش بندی علاوه بر توجه به تعداد المان ها، توجه به هندسه مش نیز اهمیت دارد. برای مثال

در مناطقی که تغییر شکل های ناگهانی که منجر به تمرکز تنش می شوند وجود دارد بهتر است از

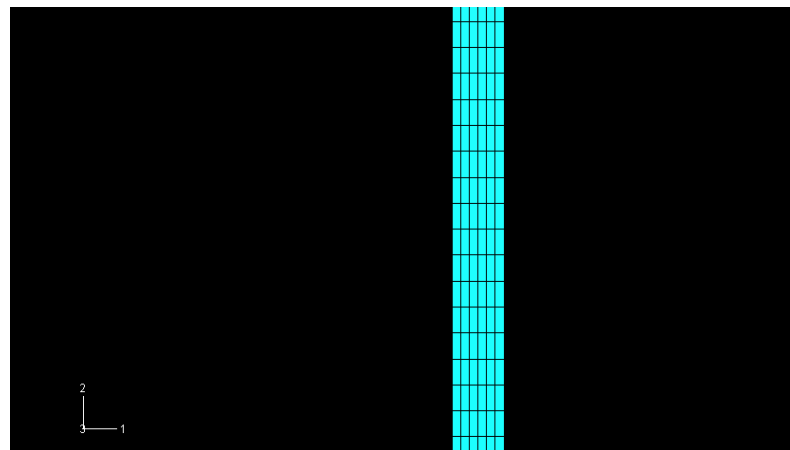
مش بندی ریزتر والمان های بیشتر استفاده شود و در عین حال اندازه المان ها به گونه ای باشد که

یکنواختی در اندازه و شکل المان ها در سایر مناطق حفظ شود.

برای انتخاب تعداد المان بهینه، باید ابتدا از تعداد المان های کم استفاده کرد و به تدریج آن را افزایش

داد و این کار تا جایی ادامه پیدا می کند که پاسخ ها به یک ثبات رسیده و تغییرات آن با تغییر تعداد

المان ناچیز باشد.



شکل ۳-۳- شبکه مش بندی مقطع مخزن

تعريف بار:

در مسئله مورد بررسی ، بار بصورت متحرک است . اما در نرم افزار چنین باری تعريف نشده است. اگرچه عدم تعريف بار متحرک موجب ایجاد خطا خواهد شد، اما نتایج تجربی نشان میدهد تازمانی که سرعت خیلی زیاد نیست و به سرعت بحرانی نزدیک نشده است تفاوت چندانی بین بار متحرک و بار غیر متحرک وجود ندارد.[۲۱]

با این وجود با تقسیم بندی بار در فاصله های مختلف طول مخزن در زمانهای متوالی و استفاده از گزینه AMPLITUDE میتوان به حالت بار گذاری متحرک نزدیک شد . در این روش زمان اعمال بار به تعدادی زیر بازه تقسیم شده و با افزایش زمان سطح وسیعتری از مخزن تحت بار قرار گرفته و در نهایت این کار تا آنجا ادامه میابد که بار تمام مخزن را فرا می گیرد .

شرایط مرزی:

رسم شکل درنرم افزار به گونه ای است که محورهای  $U_1, U_2$  منطبق بر مقطع مخزن

و محور  $U_3$  درجهت عمودبرسطح مقطع مخزن میباشد.

شرایط مرزی به گونه ای است که  $U_1 = U_2 = 0$  و چرخش حول محور  $U_3$  نیز صفر میباشد. در واقع

کلیه درجات آزادی مهار شده و شرایط مرزی مشابه [۲۲] خواهد بود.

# فصل چهارم

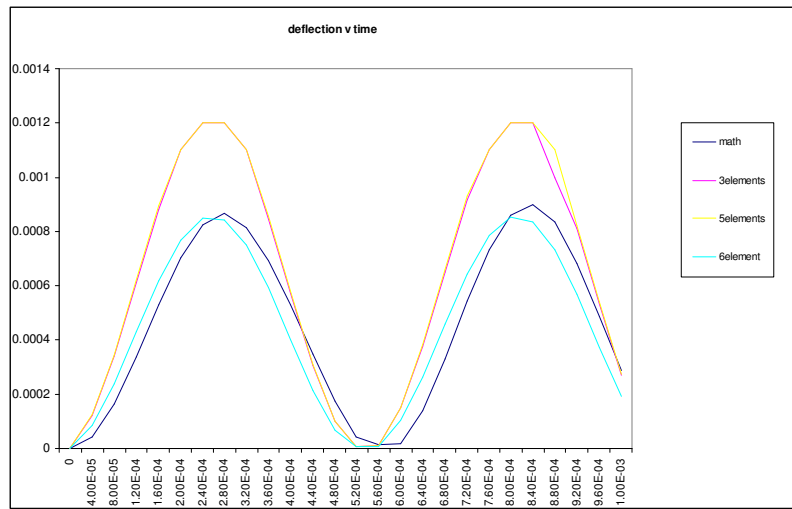
بررسی نتایج

دراین بخش پاسخهای بدست آمده با روش‌های ریاضی (روش سری) با روش‌های المان محدود و حل عددی مقایسه خواهند شد.

باقوچه به اینکه پاسخ‌های ریاضی در قالب سری بیان می‌شود و تعداد جملات نامتناهی است می‌باشد است. با توجه به اینکه پاسخ‌های ریاضی از جملات را در نظر گرفت. پاسخ ریاضی بدست آمده رابطه (۱۴۰-۲)

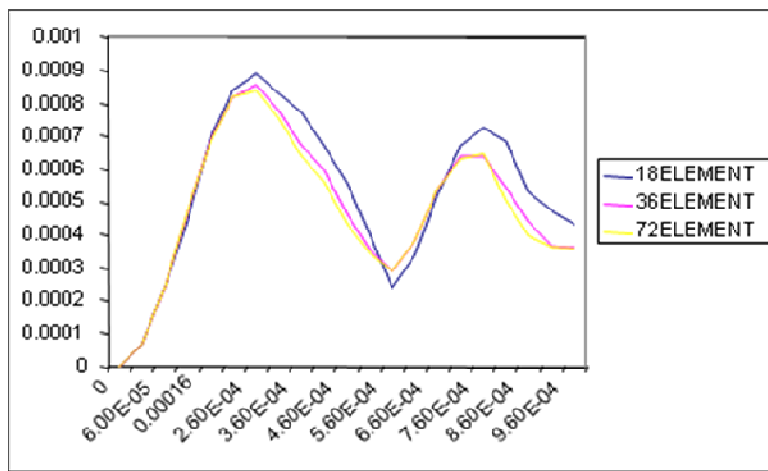
حال باید به بررسی پاسخ‌های روش المان محدود و نتایج برنامه‌ها پرداخت. برنامه‌ها برای تعداد المان‌های سه و پنج و شش در طول انجام می‌شوند که شش المان پاسخ دقیقی ارائه می‌دهد. نتایج حاصل از شبیه سازی با نرم افزار نیز با المان‌هایی با اندازه‌های متفاوت انجام شده است و با توجه به اینکه تقسیم ضخامت پوسته به شش قسمت و طول مخزن به ۷۲ قسمت پاسخ‌های دقیقی ارائه میدهدار المان‌های کوچکتر صرف نظر می‌شود.

در شکل ۱-۴ می‌توان نتایج حاصل از راه حل ریاضی را با نتایج کدهای متلب در طول  $x = 20in$  مقایسه کرد. نتایج ریاضی با نام  $\text{math}$  و نتایج متلب بسته به تعداد المان‌های در نظر گرفته شده نام گذاری شده‌اند:



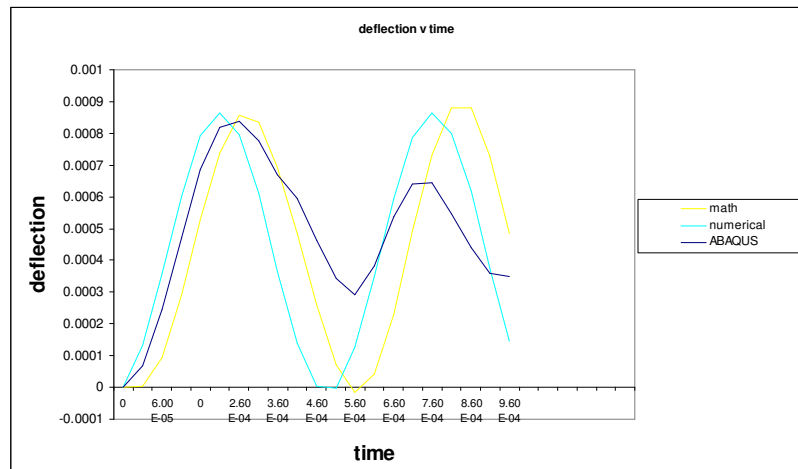
شکل ۴-۱- نتایج ریاضی در مقایسه با روش‌های عددی با تعداد المان‌های متفاوت محور افقی زمان و محور عمودی معرف تغییر شکل شعاعی است.

همچنین در شکل ۲-۴ نتایج حاصل از نرم افزار آباکوس در طول  $x = 20in$  را میتوان مشاهده کرد .  
در شکل هر منحنی مربوط به المانی با اندازه خاص است.



شکل ۲-۴- نتایج حل با نرم افزار به ازای المان‌ها با اندازه متفاوت

در شکل ۳-۴ نتایج ریاضی ، عددی و نتایج حاصل از نرم افزار دریک نمودار مشاهده میشود:

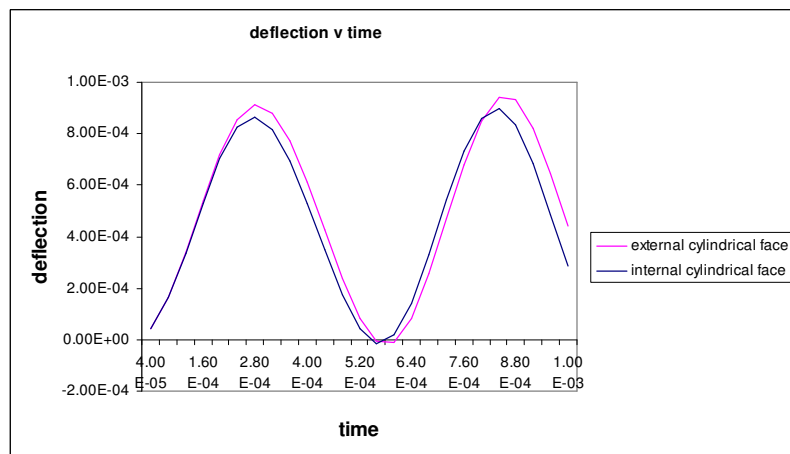


شکل ۴-۳-نتایج ریاضی عددی و نرم افزار

نتایج در وجود درونی و بیرونی پوسته :

نتایج ریاضی برای وجود درونی و بیرونی در  $x = 20in$  با احتساب ۱۰۰ جمله از سری ۱۴۰-۲ به شکل

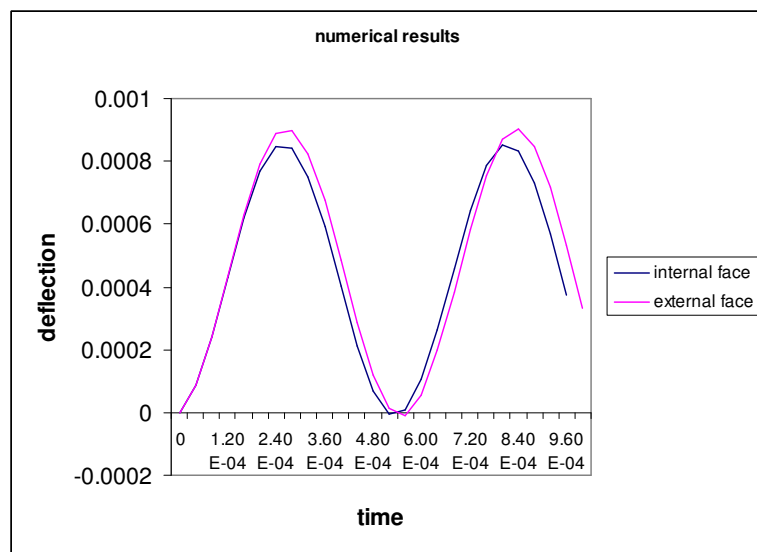
زیر است:



شکل ۴-۴- نتایج حل ریاضی برای وجود درونی و بیرونی پوسته

همان گونه که مشاهده می شود تغییر شکل وجه خارجی بیش از وجه داخلی است با این وجود نتایج برروی وجود نزدیک هستند بخصوص در لحظات ابتدایی و بیشترین تفاوت در مقادیر ماکریم ها است.

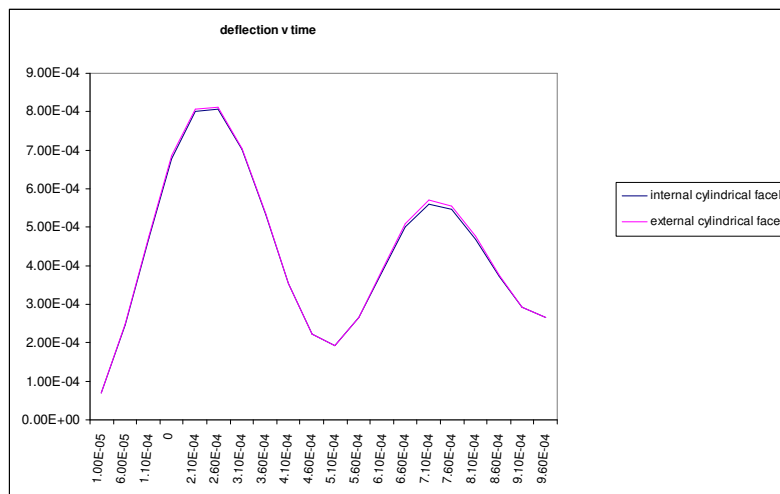
نتایج حاصل از برنامه ها و کدهای المان محدود با روش گالرکین بصورت زیر است :



شکل ۴-۵-نتایج کدهای حل عددی برای وجود داخلی و خارجی

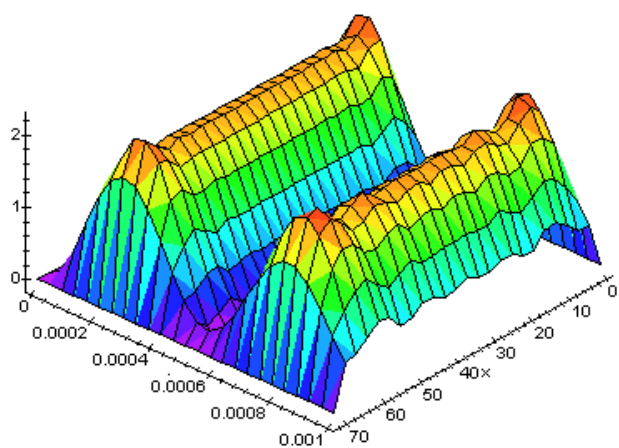
نتایج شبیه به حل ریاضی هستند و جز در نقاط ماکریم در باقی نقاط تا حدود زیادی نزدیک هستند.

نتایج حاصل از نرم افزار آباکوس به شکل زیر است :



شکل ۴-۶-نتایج تحلیل با نرم افزار برای وجه خارجی و داخلی پوسته

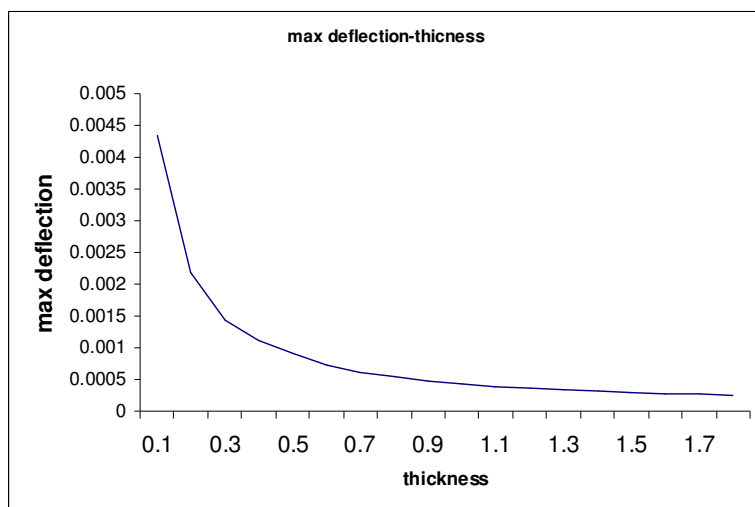
نتایج حاصل از نرم افزار برای وجه درونی و بیرونی بسیار نزدیک هستند. همچنین پاسخهای حاصل از نرم افزار کوچکتر از پاسخ های روش ریاضی و روش گالرکین است. در نمودار بعد تغییر شکلهای دینامیکی بدست آمده باروش ریاضی ، نسبت به تغییر شکل ناشی از بارگذاری با دامنه یکسان و در شرایط استاتیکی رسم شده است:



شکل ۴-۷-نمودار تغییرات ضریب تقویت دینامیکی با روش ریاضی

همان گونه که از شکل مشخص است میزان تغییر شکل دینامیکی حدوداً دو برابر بیش از تغییر شکل استاتیکی است. همچنین میزان تغییرات ماکریتم تغییر شکل با افزایش ضخامت در محدوده ضخامت

۰.۱ تا ۱.۸ اینچ در شکل ۴-۸ ارائه شده است:



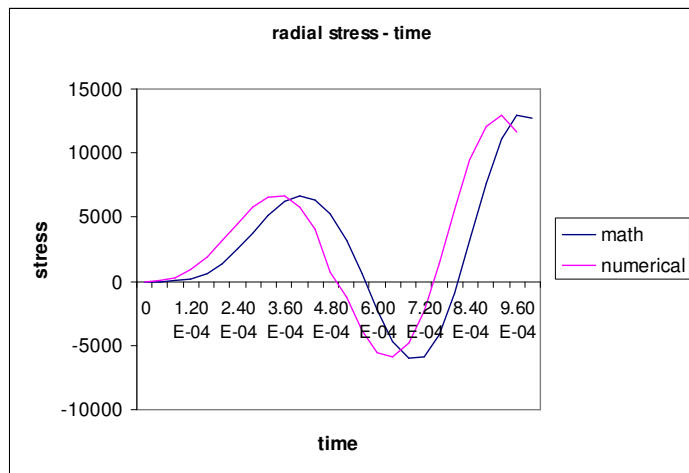
شکل ۴-۸- تغییرات ماکریتم تغییر شکل نسبت به تغییرات ضخامت

میزان تغییر شکل با افزایش ضخامت کاهش میابد و هرچه ضخامت بیشتر شود از شیب منحنی تغییر شکل کاسته می شود و منحنی شیب ملائمتری می یابد و پس از اینکه ضخامت به ۰.۹ اینچ می رسد روند تغییرات ملائم تر است.

#### بررسی نتایج درمورد تنش ها:

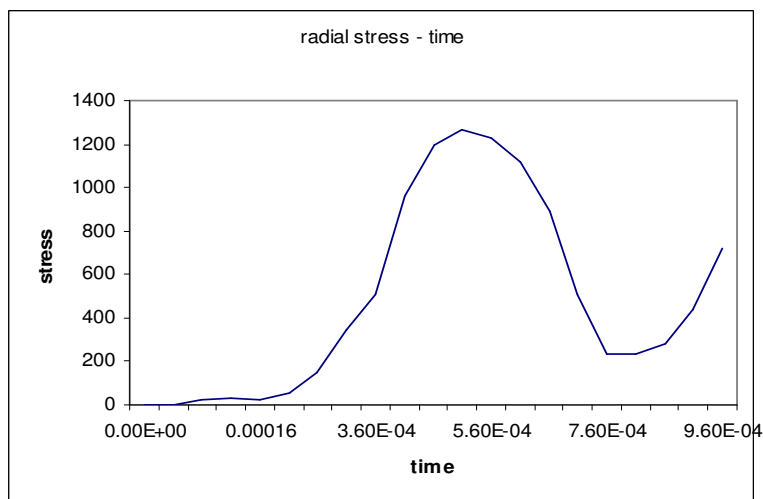
بررسی تنش ها ای شعاعی و محیطی با روش تئوری و نتایج حاصل از کدها تطابق قابل قبولی دارند، اما نتایج حاصل از نرم افزار آباکوس بسیار متفاوت است. در بررسی تغییر شکل ها مشخص شد که نتایج نرم افزار برای سطوح درونی و بیرونی بسیار نزدیک هستند و شاید همین رابتوان دلیل این اختلاف دانست.

در شکل ۹-۴ نتایج تئوری و حل عددی برای تنش شعاعی مشاهده می شود که تطابق خوبی دارند.



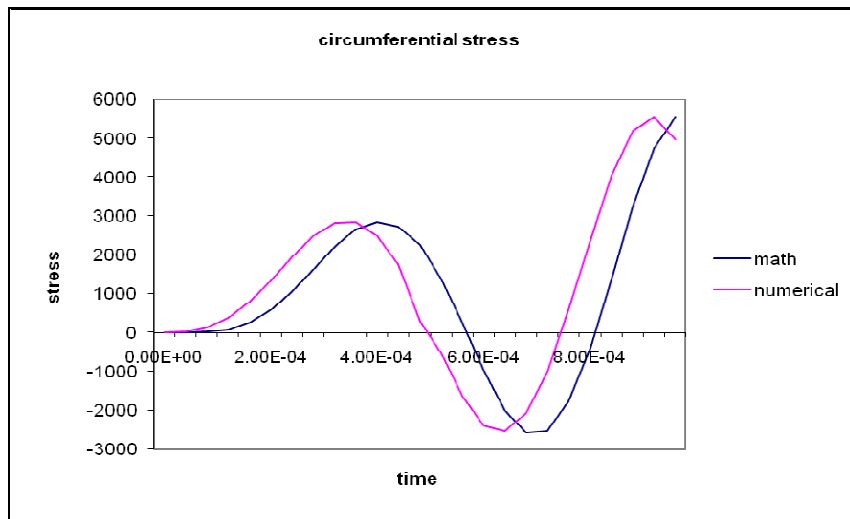
شکل ۹-۴- نتایج تئوری و عددی تنش شعاعی

در شکل ۱۰-۴ نتایج نرم افزار برای تنش شعاعی مشاهده می شود.



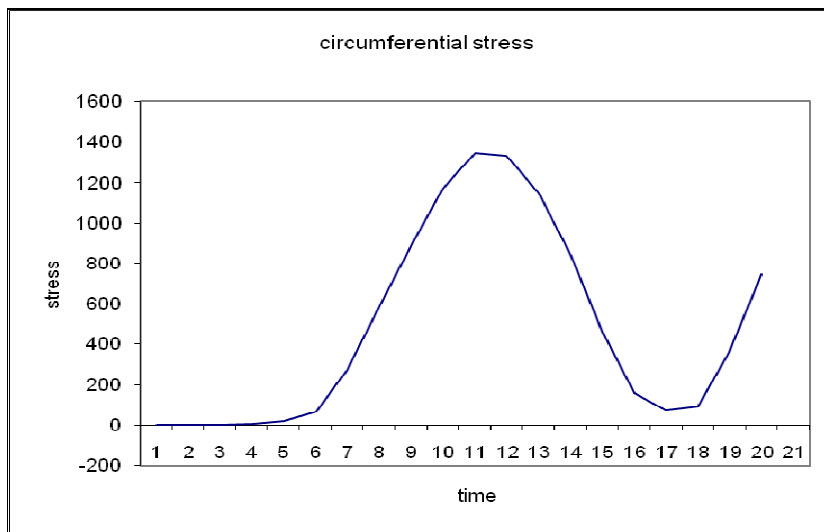
شکل ۱۰-۴- تنش شعاعی با استفاده از نرم افزار

در شکل ۱۱-۴ نتایج تئوری و حل عددی برای تنش محیطی مشاهده می شود.



شکل ۱۱-۴- نتایج تئوری و عددی تنش محیطی

در شکل ۱۲-۴ نتایج نرم افزاربرای تنش محیطی مشاهده می شود.



شکل ۱۲-۴- تنش محیطی با استفاده از نرم افزار

## دلایل خطأ:

در تحلیل با نرم افزار تعریف بار متحرک ممکن نیست و ناچار بار بصورت ثابت درنظر گرفته میشود. هنگامی که بار متحرک است سرعت حرکت بار موجب ایجاد ارتعاش و در نتیجه افزایش دامنه تغییر شکل می شود.

بنابراین دلیل تفاوت نتایج ریاضی و نتایج نرم افزار را میتوان ناشی از عدم تعریف بار متحرک دانست.

## پیشنهادات:

حل ارائه شده برای مخازن تحت بار متحرک تنها برای بارهای گستردۀ انجام شده است و به نظر میرسد بارهای متمرکز نیز باید بررسی شود. همچنین بررسی بارهای حجمی و بارهای ضربه ای و انفجاری نیز می تواند مورد بررسی قرار گیرد که بررسی های بعمل آمده نشان می دهد رفتار مخازن تحت این نوع بارها تا حدودی متفاوت خواهند بود.

## ضمایم و پیوست ها:

### الف- موج برشی [۲۹]:

حرکت زیر متشکل از امواج عرضی است. یعنی در حالی که اغتشاش در جهت  $e_1$  منتشر میشود

حرکت ذره در جهت موازی  $e_2$  میباشد:

$$u_1 = 0, u_2 = \varepsilon \sin \frac{2\pi}{l} (x_1 - c_s t), u_3 = 0$$

در چنین حرکتی مولفه های کرنش عبارتند از:

$$E_{11} = E_{22} = E_{33} = E_{13} = E_{23} = 0, E_{12} = \frac{1}{2} \varepsilon \left( \frac{2\pi}{l} \right) \cos \frac{2\pi}{l} (x_1 - c_s t)$$

مولفه های تنش:

$$T_{11} = T_{22} = T_{33} = T_{13} = T_{23} = 0$$

$$T_{12} = \mu \varepsilon \left( \frac{2\pi}{L} \right) \cos \frac{2\pi}{L} (x_1 - c_s t)$$

با قرار دادن این مقادیر در معادله حرکت:

$$\frac{\partial T_{21}}{\partial x_1} = \rho \frac{\partial^2 u_2}{\partial t^2}$$

مقدار زیر بدست می آید:

$$c_s = \sqrt{\frac{\mu}{\rho}}$$

## ب- موج طولی [۲۹]:

در حرکتی با مولفه های زیر هر ذره در راستای  $e_1$  نوسان می کند و جهت انتشار امواج و جابجایی ذرات موازی است.

$$u_1 = \varepsilon \sin \frac{2\pi}{L} (x_1 - c_e t), u_2 = 0, u_3 = 0$$

مولفه های کرنش عبارتند از:

$$E_{11} = \varepsilon \left( \frac{2\pi}{L} \right) \cos \frac{2\pi}{L} (x_1 - c_e t), E_{22} = E_{33} = E_{12} = E_{13} = E_{23} = 0$$

ومولفه های تنش:

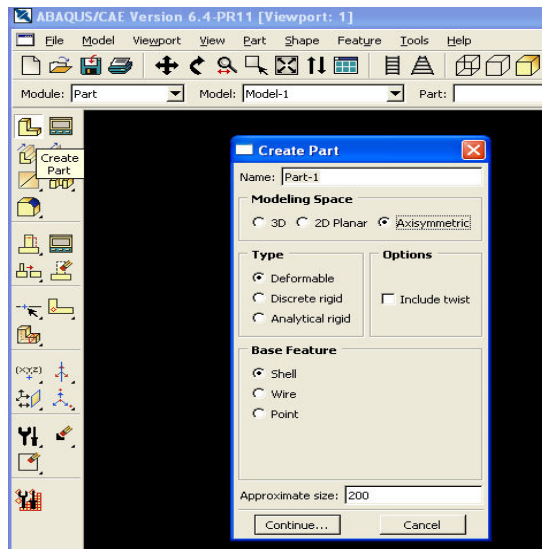
$$T_{11} = (\lambda + 2\mu) E_{11}, T_{22} = \lambda E_{11}, T_{33} = \lambda E_{11}, T_{12} = T_{13} = T_{23} = 0$$

با قراردادن معادلات فوق در رابطه زیر حاصل می شود:

$$c_e = \sqrt{\frac{\lambda + 2\mu}{\rho}}$$

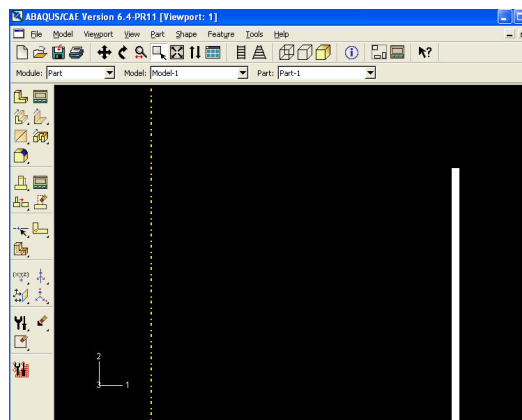
## ج-مراحل تحلیل با نرم افزار آباکوس:

از زبانه ماژول گزینه part انتخاب میشود. در مرحله بعد گزینه های نشان داده شده انتخاب میشود:



شکل ج - ۱

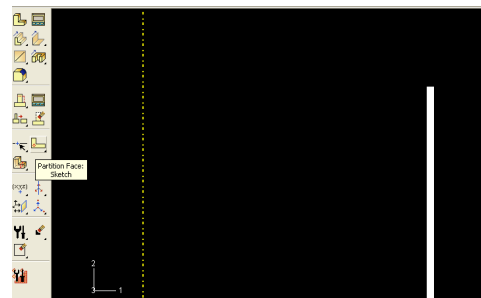
سپس با استفاده از گزینه rectangle مقطع مخزن رسم میشود :



شکل ج - ۲

با استفاده از گزینه نشان داده شده طولی که قرار است نیرو برآن اعمال شود به ۲۰ قسمت تقسیم

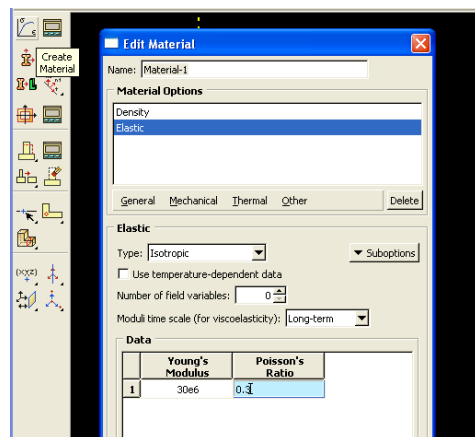
میشود:



شکل ج-۳

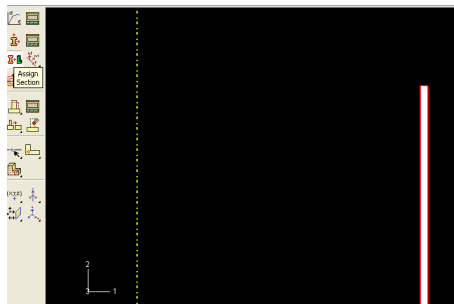
با ورود به زبانه ماژول وانتخاب گزینه property مقادیر چگالی و مدول الاستیسیته و ضریب پواسون

وارد می شود:



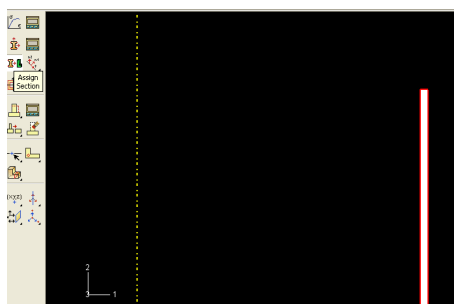
شکل ج-۴

سپس گزینه assign section و create section انتخاب می شود:



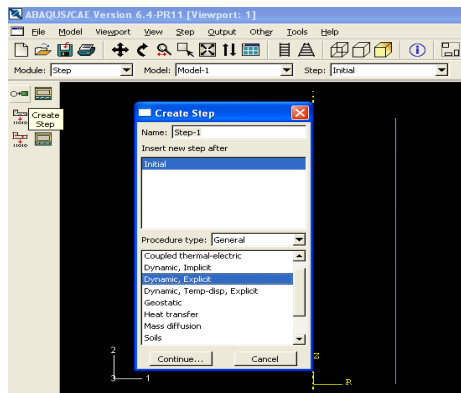
شکل ج-۵

پس از ورود به زبانه assembly گزینه های زیر انتخاب می شود:

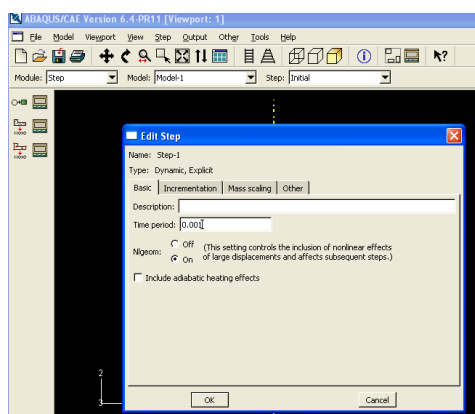


شکل ج-۶

در زبانه step گزینه های نمایش داده شده انتخاب می شود:

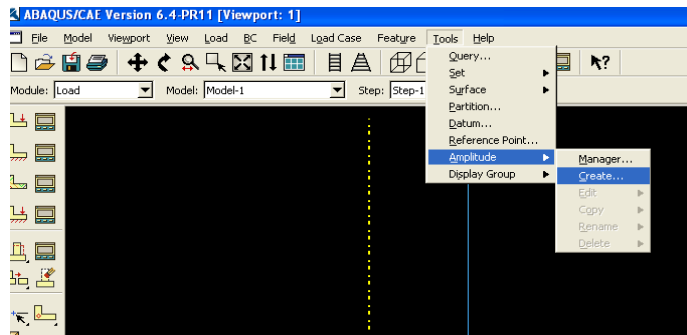


شکل ج



شکل ج

با ورود به زبانه load گزینه های زیر برای وارد کردن بار بصورت مراحل متوالی بررسی می شود :

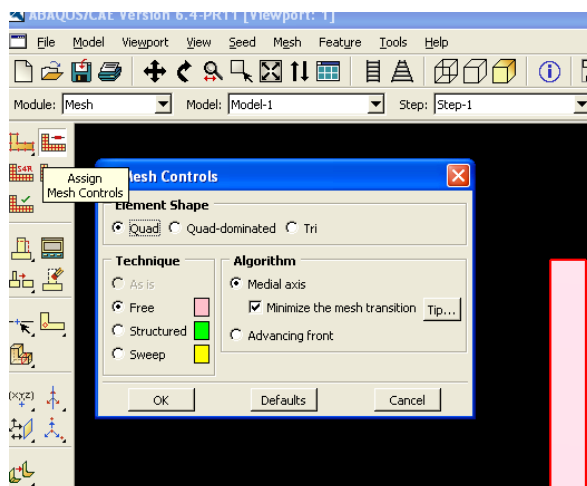


شکل ج-۹

در هر بار مقدار بار ۱۸ تعریف شده و یک amplitude جدید تعریف می شود و بار حاصله به یکی از ۱۸ قسمت اعمال می شود.

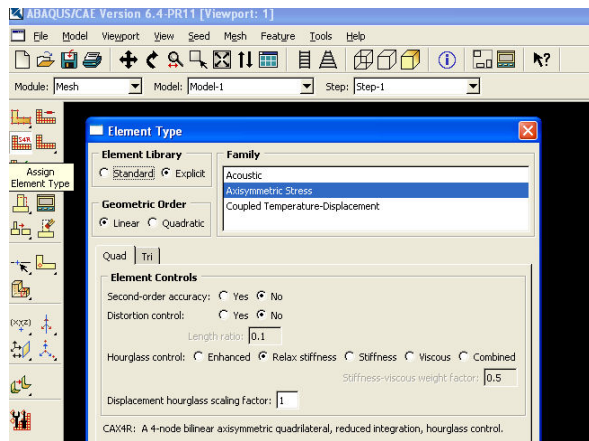
با ورود به زبانه مش و گزینه seed part instance طول و عرض مقطع مخزن به فواصل مساوی تقسیم می شود.

با انتخاب گزینه assign mesh controls نوع المان انتخاب می شود:



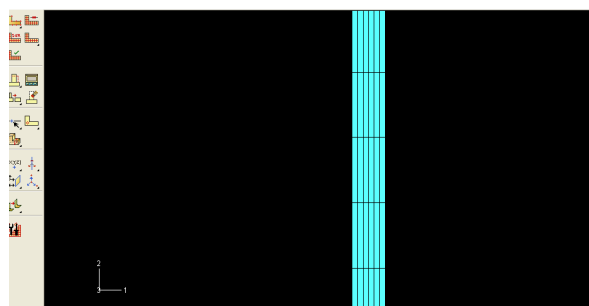
شکل ج-۱۰

با ورود به قسمتهای نشان داده شده تنظیمات زیر اعمال می گردد:



شكل ج-۱۱

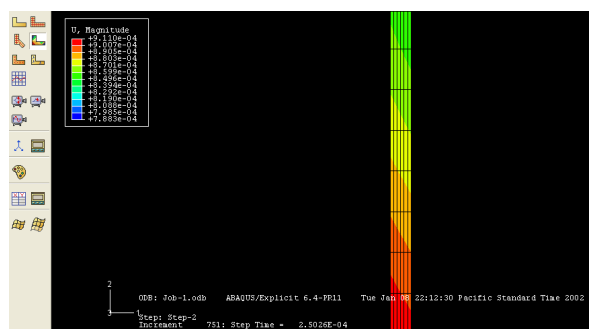
با استفاده از گزینه mesh part instance شکل مش بندی خواهد شد.



شكل ج-۱۲

حال با ورود به گزینه job گزینه create input انتخاب شده وابتدا گزینه submit گزینه وسیس

انتخاب می شود. پس از مشاهده پیغام results completed می توان از گزینه results مشاهده کرد.



شكل ج-۱۳

## فهرست مراجع

- ۱- A.C. Ugural , *Stresses in plates and shells* ,Mc Graw-Hill , ۱۹۸۱
- ۲- A.E.Martinez – Castro, P. Museros, A. Castillo-Linares , ۲۰۰۶ - Semi-analytic solution in the time domain for non-uniform multi-span Bernoulli–Euler beams traversed by moving loads. *Journal of sound and vibration-* ۲۹۴ , ۲۷۸-۲۹۷
- ۳- C.Bilello , L.A.Bergman , ۲۰۰۳ – Vibration of damaged beams under a moving mass : theory and experimental validation. *Journal of sound and vibration-* ۲۷۴ , ۵۶۷-۵۸۲
- ۴- C.H.Lee , M.Kawatani , C.W.Kim , N.Nishimura ,  
Y.Kobayashi , ۲۰۰۶ – Dynamic response of a monorail steel bridge under a moving train . *Journal of sound and vibration-* ۲۹۴ , ۵۶۲-۵۷۹
- ۵- G. Hermann and I . Mirsky , ۱۹۵۶ -Three dimensional and shell theory analysis of axially symmetric motions of cylinders. *Journal of applied mechanics* ۷۸, ۵۶۳-۵۶۸
- ۶- G.T.Michaltsos , ۲۰۰۲ - Dynamic behaviour of a single- span beam subjected to loads moving with variable speeds. *Journal of sound and vibration-* ۲۵۸ , ۳۵۹-۳۷۲
- ۷- H.Chebli, D.Clouteau, L.Schmitt, ۲۰۰۸ - Dynamic response of high-speed ballasted railway tracks : ۳D periodic model and in situ measurements . *Soil dynamics and earthquake engineering-* ۲۸ , ۱۱۸-۱۳۱
- ۸- H.Ouyang , M .Wang , ۲۰۰۷- A dynamic model for a rotating beam subjected to axially moving forces . *Journal of sound and vibration-* ۳۰۸ , ۶۷۴-۶۸۲
- ۹- H.Xia , N.Zhang , W.W. Guo , ۲۰۰۶- Analysis of resonance mechanism and conditions of train–bridge system. *Journal of sound and vibration-* ۲۹۷ , ۸۱۰-۸۲۲
- ۱۰- I . Mirsky and G.Hermann , ۱۹۵۸ - Axially symmetric motions of thick cylindrical shells. *Journal of applied mechanics* - ۲۵ , ۹۷-۱۰۲

١١- J.D.Yau , Y.B.Yang , ٢٠٠٧- Vertical accelerations of simple beams due to successive loads traveling at resonant speed . *Journal of sound and vibration*- ٢٨٩ , ٢١٠-٢٢٨

١٢- J.Renard , A.Langlet , G. Girault, ٢٠٠٥ – Response of an infinite free plate – liquid system to a moving load : Theoretical stationary response in subsonic case. *Journal of sound and vibration*- ٢٩٢ , ١٢٤-١٤٧

١٣- J.S.Wu , L.K.Chiang , ٢٠٠٢- Dynamic analysis of an arch due to a moving load. *Journal of sound and vibration*- ٢٦٩ , ٥١١-٥٣٤

١٤- J.Yang, Y.Chen , Y.Xiang, X.L . Jia , ٢٠٠٨ - Free and forced vibration of cracked inhomogeneous beams under an axial force and a moving load . *Journal of sound and vibration*- ٣١٢ , ١٦٦-١٨١

١٥- L.Auersch , ٢٠٠٨ - The effect of critically moving loads on the vibrations of soft soils and isolated railway tracks . *Journal of sound and vibration*- ٣١٠ , ٥٨٧-٦٠٧

١٦- M.Abu-Hilal , ٢٠٠٦- Dynamic response of a double Euler-Bernouli beam due to a moving constant load . *Journal of sound and vibration*- ٢٩٧ , ٤٧٧-٤٩١

١٧- M.Ruzzene , A. Baz , ٢٠٠٦- Dynamic stability of periodic shells with moving loads . *Journal of sound and vibration*- ٢٩٦ , ٨٣٠-٨٤٤

١٨- O.J.Alderheim , A .Baz , ٢٠٠١- Dynamic stability of stepped beams under moving loads . *Journal of sound and vibration*- ٢٥٠ , ٨٣٥-٨٤

١٩- P .G . Bhuta , ١٩٦٣ - Transient response of a thin elastic cylindrical shell to a moving shock wave . *Journal of the acoustical society of America* - ٨٦ , ٢٥-٣٠

٢٠- P.Museros , M.D.Martinez-Rodrigo , ٢٠٠٦ - Vibration control of simply supported beams under moving loads using fluid viscous dampers.

۲۱- T . E . Simkins , ۱۹۹۴ - Amplification of flexural waves in gun tubes.Benet laboratories, Watervliet Arsenal, Watervliet New York ۱۲۱۸۹ U.S.A. *Journal of sound and vibration* - ۱۷۲, ۱۴۵ – ۱۵۴

۲۲- W.M. Beltman ,E.N. Burcsu, J.E.Sherpherd,L.Zohal, ۱۹۹۹-The structural response of cylindrical shells to internal shock loading . *Journal of pressure vessel technology* - ۱۲۱ ، ۳۱۵- ۳۲۲

۲۳- www.wikipedia.org

۲۴- www.simulia.com

۲۵- جرالد ، ویتلی - محاسبات عددی ۱۹۹۴ - مترجم : علی محمد پورپاک - انتشارات مفید ۱۳۷۷

۲۶- سید امیرالدین صدرنژاد ۱۳۸۰ - مقدمه ای بر روش اجزای محدود - انتشارات دانشگاه صنعتی  
خواجه نصیرالدین طوسی

۲۷- فردیناند بیر و راسل جانستون - مقاومت مصالح - مترجم : دکتر ابراهیم واحدیان - نشر علوم  
دانشگاهی ۱۳۸۲

۲۸- کلارنس ری وایلی و لوئیس سی بر - ریاضیات مهندسی پیشرفته  
مترجم : سیامک کاظمی - موسسه انتشارات علمی دانشگاه صنعتی شریف - ۱۹۸۵

۲۹- مایکل لی، دیوید رابین، ارھارد کرمپل- مقدمه ای بر مکانیک محیط های پیوسته  
مترجم : دکتر غلامحسین رحیمی - انتشارات دانشگاه تربیت مدرس ۱۳۷۲

Amplification factor	ضریب تقویت
Amplitude	دامنه
Axisymmetric	متقارن محوری
Backward difference	تفاضل پسرو
Central difference	تفاضل مرکزی
Circumferential	محیطی
Critical velocity	سرعت بحرانی
Concentrated force	بار متمرکز
D'Alembert principle	اصل دالامبر
Deflection	تغییر شکل
Dilatational wave	موج طولی
Dynamic response	پاسخ دینامیکی
External face	وجه بیرونی
Flexural rigidity	صلبیت خمشی
Forward difference	تفاضل پیشرو

Fourier series	سری فوریه
Impulsive load	بار ضربه ای
Internal face	وجه درونی
Membrane	غشا
Mesh	شبکه
Midplane	صفحه میانی
Moving load	بار متحرک
Node	گره
Nonlinear	غیرخطی
Numerical methods	روش‌های عددی
Radial	شعاعی
Resonance	تشدید
Shear deformation	تغییر شکل شعاعی
Shear wave	موج برشی
Shell	پوسته
Shell parameter	پارامتر پوسته

Singularity	تکینی
Step function	تابع پله ای
Strain energy	انرژی کرنشی
Stress resultant	منتجه تنش
Thick walled cylinder	مخزن جدار ضخیم
Thin walled cylinder	مخزن جدار نازک
Transient response	پاسخ گذرا
Vibration	نوسان
Wave number	شماره موج
Wave solution	حل موج



**Shahrood University of Technology**

**Faculty: Mechanical Engineering**

**Numerical and Mathematical Analysis of a thin-walled cylinder under  
moving loads**

**Fariborz Farzan**

**Supervisor:**

**Prof. H.Ipakchi**

**Nov-2008**